

Dênis Araújo da Silva  
Marcos Aurélio Freitas de Almeida Costa

## **Desenvolvimento de um Microprocessador 8086 RISC**

Itajubá - MG  
25 de março de 2014

Dênis Araújo da Silva

Marcos Aurélio Freitas de Almeida Costa

## **Desenvolvimento de um Microprocessador 8086 RISC**

Documento apresentando as normas gerais para o desenvolvimento e a redação do trabalho de diploma do curso de Engenharia da Computação da Universidade Federal de Itajubá.

UNIVERSIDADE FEDERAL DE ITAJUBÁ - UNIFEI  
INSTITUTO DE ENGENHARIA DE SISTEMAS E TECNOLOGIAS DA INFORMAÇÃO  
ENGENHARIA DA COMPUTAÇÃO

Itajubá - MG

25 de março de 2014

# Sumário

## Lista de Figuras

## Lista de Tabelas

<b>1</b>	<b>Resumo</b>	p. 11
<b>2</b>	<b>Introdução</b>	p. 12
<b>3</b>	<b>Objetivo</b>	p. 13
<b>4</b>	<b>Fundamentação Teórica</b>	p. 14
4.1	Microprocessadores . . . . .	p. 14
4.1.1	Definição . . . . .	p. 14
4.1.2	Funcionamento . . . . .	p. 15
4.1.3	Programa de Computador . . . . .	p. 16
4.1.4	Registradores . . . . .	p. 17
4.1.5	Unidade Lógica Aritmética . . . . .	p. 18
4.1.6	Unidade de Controle . . . . .	p. 19
4.1.6.1	Sinais de Controle . . . . .	p. 19
4.1.7	Sistema de Barramentos . . . . .	p. 20

4.1.8	Dispositivos de Entrada/Saída . . . . .	p. 21
4.1.9	Arquiteturas . . . . .	p. 22
4.1.9.1	CISC - Complex Instruction Set Computer . . . . .	p. 22
4.1.9.2	RISC - Reduced Instruction Set Computer . . . . .	p. 23
4.1.9.3	Comparação entre RISC e CISC . . . . .	p. 24
4.1.10	Memória Cache . . . . .	p. 24
4.1.11	Pipeline . . . . .	p. 25
4.1.11.1	Definição . . . . .	p. 25
4.1.11.2	Desenvolvimento de um conjunto de instrução para o <i>Pipeline</i> . . . . .	p. 26
4.1.11.3	Problemas do <i>Pipeline</i> . . . . .	p. 27
4.1.12	Processadores Multi-Core e Hyper-Threading . . . . .	p. 29
4.2	Microprocessador 8086/8088 . . . . .	p. 30
4.2.1	História . . . . .	p. 30
4.2.2	Visão preliminar . . . . .	p. 32
4.2.3	Memória . . . . .	p. 34
4.2.4	Arquitetura do microprocessador . . . . .	p. 36
4.2.5	Endereçamento da memória . . . . .	p. 38
4.2.6	Conjunto de registros . . . . .	p. 40
4.2.7	Instruções . . . . .	p. 42
4.2.7.1	Endereçamento por registro . . . . .	p. 43
4.2.7.2	Endereçamento imediato . . . . .	p. 43

4.2.7.3	Endereçamento Direto . . . . .	p. 43
4.2.7.4	Endereçamento indireto por registro . . . . .	p. 44
4.2.7.5	Endereçamento por base . . . . .	p. 44
4.2.7.6	Endereçamento Indexado . . . . .	p. 44
4.2.7.7	Endereçamento por base indexado . . . . .	p. 45
4.3	VHDL . . . . .	p. 45
4.3.1	Biblioteca . . . . .	p. 46
4.3.2	Entidade . . . . .	p. 46
4.3.3	Arquitetura . . . . .	p. 47
<b>5</b>	<b>Desenvolvimento</b>	<b>p. 49</b>
5.1	Requisitos de Funcionamento . . . . .	p. 49
5.1.1	Software . . . . .	p. 49
5.1.2	Hardware . . . . .	p. 49
5.1.3	Ferramentas Utilizadas no Projeto . . . . .	p. 49
5.2	Definição do Conjunto de Instruções . . . . .	p. 50
5.2.1	Conjunto de Instruções CISC . . . . .	p. 50
5.2.2	Conjunto de Instruções RISC . . . . .	p. 51
5.2.3	Instruções Escolhidas . . . . .	p. 52
5.2.4	Definição do Tamanho das Instruções . . . . .	p. 55
5.3	Implementação em VHDL . . . . .	p. 57
5.3.1	Registro de Propósito Geral . . . . .	p. 57
5.3.2	Registro de Segmento . . . . .	p. 58

5.3.3	Calculadora de Endereço . . . . .	p. 59
5.3.4	Demultiplexador . . . . .	p. 59
5.3.5	Multiplexador . . . . .	p. 60
5.3.6	Registro de Flags . . . . .	p. 60
5.3.7	Unidade de Controle de Endereços . . . . .	p. 60
5.3.7.1	Diagrama de Estados . . . . .	p. 61
5.3.8	Memória ROM . . . . .	p. 61
5.3.9	Unidade Aritmética e Lógica - ULA . . . . .	p. 62
5.3.9.1	Detector do Flag Auxiliar . . . . .	p. 63
5.3.9.2	Detector do Flag de Paridade . . . . .	p. 63
5.3.9.3	Detector do Zero Flag . . . . .	p. 64
5.3.10	Unidade de Controle . . . . .	p. 64
<b>6</b>	<b>Resultados</b>	p. 66
6.1	ADD Reg16,Imed16 . . . . .	p. 67
6.2	OR Reg16,Imed16 . . . . .	p. 68
6.3	ADC Reg16,Imed16 . . . . .	p. 68
6.4	SBB Reg16,Imed16 . . . . .	p. 69
6.5	AND Reg16,Imed16 . . . . .	p. 70
6.6	SUB Reg16,Imed16 . . . . .	p. 70
6.7	XOR Reg16,Imed16 . . . . .	p. 71
6.8	CMP Reg16,Imed16 . . . . .	p. 72
6.9	MOV Reg16,Imed16 . . . . .	p. 72

<b>7</b>	<b>Considerações Finais</b>	p. 76
<b>8</b>	<b>Trabalhos Futuros</b>	p. 77
<b>9</b>	<b>Anexo</b>	p. 78
	<b>Referências</b>	p. 82

# Lista de Figuras

- 1 Microcircuito produzido pelo processo fotográfico de multicamadas. Microprocessador com frequência de 4.8GHz, utilizado para o processamento de imagens do Gyroscan 6,2 Tesla. (ANGELO-LEITHOLD, 2004) . . . . . p. 15
- 2 Diagrama de blocos de um sistema microprocessado. (NEWELL, 1989) . . . . . p. 16
- 3 Organização de um programa de computador (NEWELL, 1989) . . p. 17
- 4 Organização interna de um microprocessador hipotético (ENGINEERING; MANAGEMENT, 2013) . . . . . p. 18
- 5 Diagrama simplificado de um Microcomputador (FILHO, 2013) . . p. 21
- 6 Entidades do Controle Microprogramado (PUC-RIO, 2013) . . . . p. 23
- 7 Hierarquia de Memórias (TARNOFF, 2011) . . . . . p. 25
- 8 Dois níveis de memória cache L1 e L2 (TARNOFF, 2011) . . . . . p. 25
- 9 A analogia de uma lavanderia com o pipeline (PATTERSON, 2005) p. 26
- 10 Comparação quantitativa da utilização de *Pipeline* utilizando a instrução *Load Word* do microprocessador MIPS. (PATTERSON, 2005) . . . . . p. 27
- 11 Trecho de código que exemplifica um problema do *pipeline* (PATTERSON, 2005). . . . . p. 27



12	Fenômeno do tipo <i>bubble</i> no <i>pipeline</i> semelhante ao problema da figura 11 (PATTERSON, 2005). . . . .	p. 28
13	Fenômeno do tipo <i>bubble</i> no <i>pipeline</i> quando ocorre o problema de <i>branch</i> (PATTERSON, 2005). . . . .	p. 28
14	Processador com dois núcleos dentro de um único processador (BINSTOCK, 2013). . . . .	p. 29
15	Exemplo de um processador com a tecnologia <i>Hyper-Threading</i> (BINSTOCK, 2013). . . . .	p. 31
16	Pinagem do IA-PX 86 (WAITE, 1988) . . . . .	p. 33
17	Arquitetura do 8086/8088 (WAITE, 1988) . . . . .	p. 34
18	Etapas de Projeto Usando VHDL . . . . .	p. 46
19	Estrutura de uma Library (PEDRONI, 2011) . . . . .	p. 47
20	Tipos de Entrada e Saída (PEDRONI, 2011) . . . . .	p. 47
21	Sintaxe de uma Architecture . . . . .	p. 48
22	Sequência para Execução de Instruções CISC . . . . .	p. 51
23	Sequência para Execução de Instruções RISC . . . . .	p. 52
24	Análise quantitativa das instruções do código do MS-DOS(SHUSTEK, 2014) . . . . .	p. 55
25	Bytes das Instruções Aritméticas e Lógicas . . . . .	p. 56
26	Bytes da Instrução MOV . . . . .	p. 56
27	Resultado do <i>testbench</i> aplicado ao componente de Registro de Propósito Geral . . . . .	p. 58
28	Resultado do <i>testbench</i> aplicado ao componente de Registro de Segmento . . . . .	p. 59

29	Resultado do <i>testbench</i> aplicado a Calculadora de Endereço . . . .	p. 59
30	Resultado do <i>testbench</i> aplicado ao Demultiplexador . . . . .	p. 60
31	Resultado do <i>testbench</i> aplicado ao Multiplexador . . . . .	p. 60
32	Resultado do <i>testbench</i> aplicado ao Registro de Flags . . . . .	p. 61
33	Diagrama de Estados da Unidade de Controle de Endereços . . .	p. 62
34	Saída Memória ROM . . . . .	p. 62
35	Resultado do <i>testbench</i> aplicado a Unidade de Controle de Endereços	p. 63
36	Saída Estrutura Detector Auxiliar Flag . . . . .	p. 63
37	Saída Estrutura Detector Flag de Paridade . . . . .	p. 63
38	Saída Estrutura Detector Zero Flag . . . . .	p. 64
39	Diagrama de Estados da Unidade de Controle . . . . .	p. 65
40	Sequência para Execução de Instruções CISC . . . . .	p. 67
41	Sequência para Execução de Instruções CISC . . . . .	p. 68
42	Sequência para Execução de Instruções CISC . . . . .	p. 69
43	Sequência para Execução de Instruções CISC . . . . .	p. 70
44	Sequência para Execução de Instruções CISC . . . . .	p. 71
45	Sequência para Execução de Instruções CISC . . . . .	p. 72
46	Sequência para Execução de Instruções CISC . . . . .	p. 73
47	Sequência para Execução de Instruções CISC . . . . .	p. 74
48	Sequência para Execução de Instruções CISC . . . . .	p. 75

# Lista de Tabelas

1	Número de Referências 8086/8088 . . . . .	p. 35
2	Instruções Escolhidas e seus devidos Opcodes . . . . .	p. 54
3	Códigos de controle do Registro de Propósito Geral . . . . .	p. 57
4	Códigos de controle do Registro de Segmento . . . . .	p. 58

# 1    **Resumo**

Este documento descreve o Trabalho Final de Graduação do curso de Engenharia da Computação da Universidade Federal de Itajubá.

O projeto visa desenvolver um microprocessador iAPX86 de arquitetura RISC implementado em linguagem VHDL.

## 2 Introdução

O microprocessador, ou simplesmente CPU, é uma peça fundamental dos dispositivos eletrônicos atuais. Ela está presente em computadores pessoais, tablets, smartphones e eletrodomésticos. É responsável pela execução de operações aritméticas e lógicas requisitadas pelos programas.

O projeto de um microprocessador envolve circuitos extensos e complexos, é neste ponto que entra a lógica programável. Este recurso permite escrever um código que implemente a funcionalidade de um circuito eletrônico. VHDL é uma das linguagens que permite a escrita deste código, sendo independente de tecnologia e fabricante.

## 3 Objetivo

O objetivo deste trabalho é adaptar o microprocessador 8086 para um dispositivo de arquitetura RISC Load/Store. O chip será implementado em linguagem VHDL.

## 4 Fundamentação Teórica

### 4.1 Microprocessadores

#### 4.1.1 Definição

Segundo (FERREIRA, 1981), um microprocessador é um circuito eletrônico muito complexo composto de milhares de transistores microscópicos num único circuito integrado contendo até cerca de 40 terminais. Os milhares de transistores que compõem o microprocessador são arranjados para formar diferentes circuitos dentro do chip. Entre estes circuitos pode-se destacar registradores, decodificadores, contadores, etc.

O coração de um microcomputador é sua unidade de processamento (MPU). A MPU de um microcomputador é implementada com um dispositivo VLSI (*Very Large Scale Integration*) conhecido como microprocessador, ou somente processador, sendo mais direto. Um microprocessador é uma unidade de processamento de propósito geral construído em um único circuito integrado (CI), (SINGH, 1947).

Como visto acima sabemos que o microprocessador é o coração de um sistema microprocessado, na figura 2, defini-se as quatro partes básicas de um sistema microprocessado, que incluem um microprocessador, memória e entrada/saída que são interligados por um sistema de *buses*, que será explicado mais a frente. Um *bus* é um conjunto de fios que transmitem informação entre dois ou mais dispositivos (NEWELL, 1989).

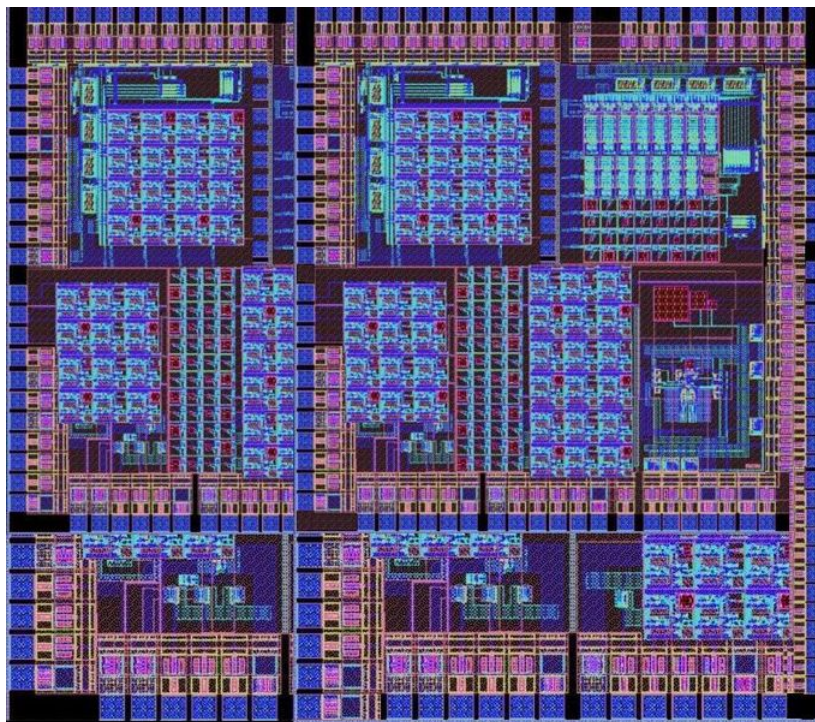


Figura 1: Microcircuito produzido pelo processo fotográfico de multicamadas. Microprocessador com frequência de 4.8GHz, utilizado para o processamento de imagens do Gyroscan 6,2 Tesla. (ANGELOLEITHOLD, 2004)

#### 4.1.2 Funcionamento

Os microprocessadores funcionam a partir de um relógio interno, feito de quartz que quando sujeito a uma corrente elétrica, emite pulsos, chamados de "top". Tais pulsos fazem com que o microprocessador execute uma ação, ou seja, uma instrução, seja a mesma executada de forma parcial ou total. Estes pulsos também definem a potência do microprocessador, sendo esta potência definida como o número de instruções executadas por segundo e tem como unidade utilizada o MIPS (Milhões de Instruções Por Segundo) (MICROPROCESSADORES, 2013).

Existem dispositivos de entrada e saída que permite a importação de dados para armazenamento ou processamento, a exportação dos resultados e acessos aos dados armazenados. Outros sinais importantes para o funcionamento do micro-



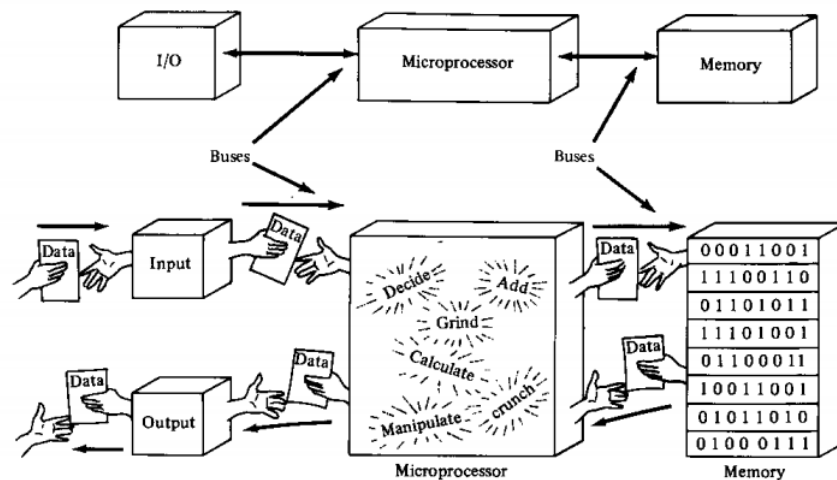


Figura 2: Diagrama de blocos de um sistema microprocessado. (NEWELL, 1989)

processador é o sinal de *reset*, que faz com que a CPU volte a um estado inicial que é definido e conhecido, voltando a este estado o microprocessador pode começar a executar programas. O sinal de interrupção faz com que o microprocessador pare sua execução e comece a executar uma rotina pré-definida (MICROPROCESSADORES, 2013)

### 4.1.3 Programa de Computador

A figura 3 é uma representação visual de um programa de computador, onde ter-se o código não é o suficiente. Para realizar a tarefa especificada pelo programa, o computador (microprocessador) necessita ler as instruções do programa, interpretá-las e executá-las. (NEWELL, 1989).

De acordo a (NEWELL, 1989) a maneira que um computador executa um programa é cíclica e segue a seguinte ordem:

1. Leitura (*Fetch*) de uma instrução

Onde o computador lê uma instrução e a copia da memória para o seu cérebro (*Microprocessor*).

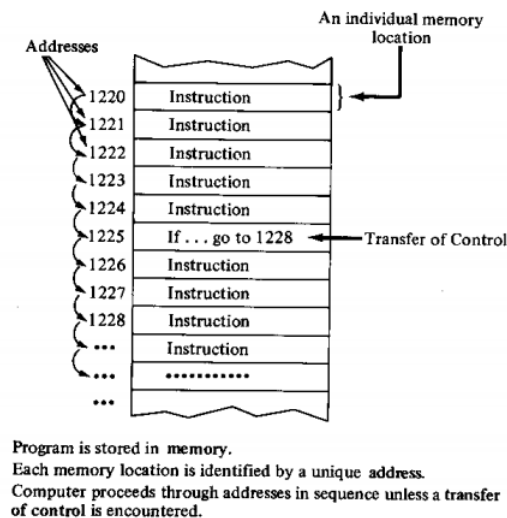


Figura 3: Organização de um programa de computador (NEWELL, 1989)

## 2. Interpretação (*Decode*) da instrução

Cada número que representa uma instrução dentro do programa, possui um significado para o computador, em termos da ação que deve ser realizada.

## 3. Execução (*Execute*) da instrução

Para a realização deste ciclo, o microprocessador conta com uma série de circuitos internos com funcionalidades específicas, que serão descritos à seguir.

### 4.1.4 Registradores

Os registradores são utilizados para salvar informação binária durante o tempo de execução de um programa. Cada registro possui uma função específica associada a ele (ENGINEERING; MANAGEMENT, 2013):

O **acumulador** é um registro primário associado a *ALU* (Unidade Lógica Aritmética) e operações de entrada/saída. O **registro de instrução** guarda o código binário da instrução que está sendo executada. O **contador de programa** contém o endereço de memória da próxima instrução que deve ser tomada.

Todos estes registradores podem ser visualizados na figura 4.

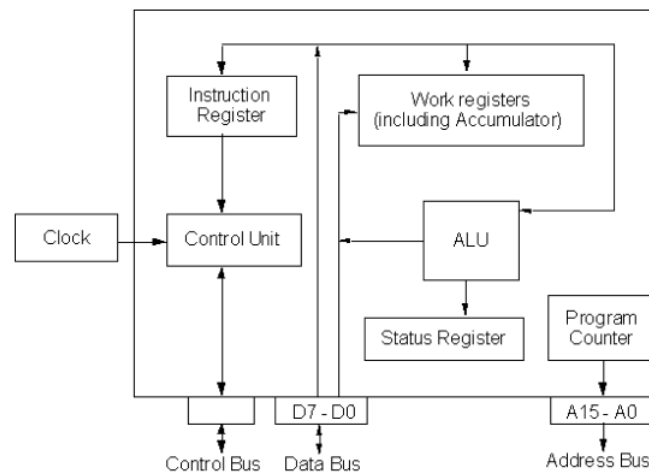


Figura 4: Organização interna de um microprocessador hipotético (ENGINEERING; MANAGEMENT, 2013)

#### 4.1.5 Unidade Lógica Aritmética

A Unidade Lógica Aritmética, ou *Arithmetic Logic Unit* (ALU) em inglês, é o maior componente da unidade central de processamento de um sistema microprocessado. A unidade realiza todos os processos relacionados a operações aritméticas e lógicas que necessitam ser feitas nas instruções. Em alguns microprocessadores a ALU é dividida em unidade aritmética (UA) e unidade lógica (UL). Uma ULA pode ser desenvolvida por engenheiros para calcular qualquer operação. Assim que as operações começam a ficar mais complexas, a ULA fica mais cara, ocupa mais espaço e dissipa mais calor. Por isto, engenheiros fazem a ULA poderosa o suficiente, para garantir que a Unidade de Processamento seja também poderosa e rápida, porém não tão complexa, que a torne proibitiva em termos de custo entre outras desvantagens (TECHOPEDIA, 2013).

ULAs normalmente realizam as seguintes operações:

- **Operações Lógicas:** Essas incluem AND, OR, NOT, XOR, NOR, NAND, etc.
- **Operações de Rotacionamento de Bits:** Pertence ao rotacionamento da posição dos bits por um certo número de vezes para direita ou esquerda.
- **Operações Aritméticas:** Refere-se, normalmente, a adição e subtração. Multiplicação e divisão as vezes são implementadas. Porém, estas são operações custosas. A adição pode ser utilizada como substituta para a multiplicação e a subtração para a divisão.

#### 4.1.6 Unidade de Controle

A unidade de controle é composta por um controlador de sequência e um decodificador de instrução. Durante a execução, a unidade de controle, ajusta o conteúdo do contador de programa para ser posicionado nas linhas de endereçamento. Essas linhas indicam o endereço da posição de memória, que contém o código da próxima instrução a ser executada. Em seguida, a unidade de controle insere no registrador de instrução o código de instrução da posição de memória. O decodificador de instrução é habilitado e a unidade de controle ativa as linhas de controle necessárias, buscando dos resultados desejados (ENGINEERING; MANAGEMENT, 2013).

##### 4.1.6.1 Sinais de Controle

Os sinais de controle são sinais elétricos que orquestram as diversas unidades do processador, que participam na execução de uma instrução. Os sinais de controle são distribuídos devido a um elemento chamado sequenciador. O sinal *Read/Write*, em português Leitura/Escrita, diz para a memória ou outros dispositivos que o processador quer ler ou escrever uma informação (MICROPROCESSADORES, 2013).

### 4.1.7 Sistema de Barramentos

No diagrama simplificado da figura 5 todos os módulos lógicos se comunicam com a Unidade Central de Processamento. Na prática, muitos modelos de interconexão podem ser usados, geralmente através de barramentos. Lembre-se de que um barramento é um meio de transmissão de informações ou sinais, distinguidos por suas funções. No caso dos sistemas baseados em microprocessador, ao menos três barramentos são fornecidos (FILHO, 2013):

- **Barramento de Dados:** Transmite dados entre as unidades. Portanto, um microprocessador de 8 bits requer um barramento de dados de 8 linhas para transmitir dados de 8 bits em paralelo. Semelhantemente, um microprocessador de 64 bits necessita de um barramento de dados de 64 linhas para transmitir dados de 64 bits em paralelo. Se o barramento de dados para um microprocessador de 64 bits fosse formado por 8 linhas, seriam necessárias oito transmissões sucessivas, tornando mais lento o sistema. O Barramento de Dados é bi-direcional, isto é, pode transmitir em ambas as direções.
- **Barramento de Endereço:** É usado para selecionar a origem ou destino de sinais transmitidos em um dos outros barramentos ou numa de suas linhas, conduzindo endereços. Uma função típica do Barramento de Endereço é selecionar um registrador em um dos dispositivos do sistema, que é usado como a fonte ou o destino do dado. O Barramento de Endereço do nosso computador padrão, tem 16 linhas e pode endereçar  $2^{16}$  (64 K) dispositivos (1K = 1024, ou  $2^{10}$ , no jargão de computação).
- **Barramento de Controle:** Sincroniza as atividades do sistema, conduzindo o status e a informação de controle de/para o Microprocessador. Para um Barramento de Controle ser formado, ao menos 10 (geralmente são mais) linhas de controle são necessárias.

De acordo a (FILHO, 2013), os barramentos são implementados como linhas de comunicação reais. Eles podem ser posicionados como parte do circuito no próprio Chip (Barramentos internos) ou podem servir de comunicação externa entre os Chips (Barramentos externos). Os barramentos externos podem ser expandidos para facilitar a conexão de dispositivos especiais. Um projeto eficiente de barramentos é crucial para a velocidade do sistema.

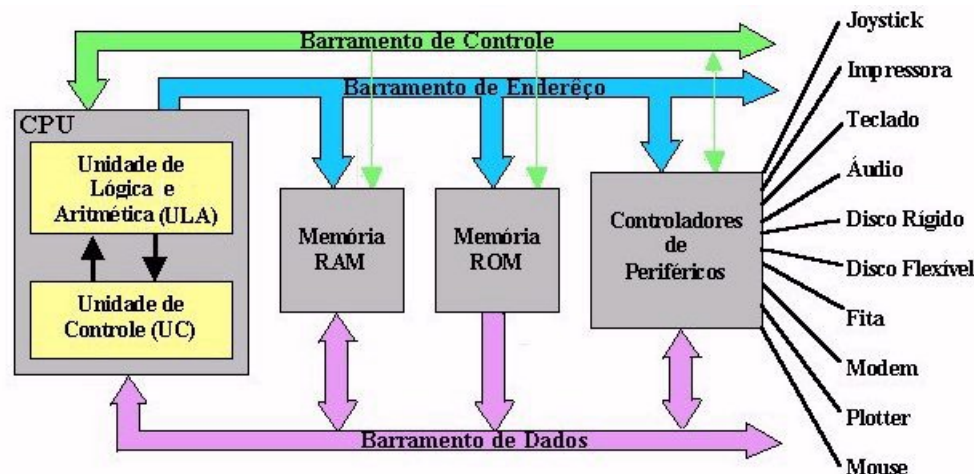


Figura 5: Diagrama simplificado de um Microcomputador (FILHO, 2013)

#### 4.1.8 Dispositivos de Entrada/Saída

Os dispositivos de entrada/saída (E/S) ou *input/output (I/O)*, são também denominados periféricos, eles permitem a interação do processador com o homem, possibilitando a entrada e/ou saída de dados. Porém, é necessário o módulo mais à direita da figura 5, que são os controladores de periféricos. Tais controladores possuem a tarefa de combinar as velocidades entre os dispositivos, pois a maioria dos periféricos são consideravelmente mais lentos que a unidade de processamento, convertem dados de um formato em outro (FILHO, 2013). Exemplos de periféricos de entrada: teclado, mouse, scanner, etc. Dispositivos de saída: monitor, impressora, etc.

### 4.1.9 Arquiteturas

De acordo com (PATTERSON, 2005), uma das mais importantes abstrações é a interface entre o hardware e o software de baixo nível. Por causa de sua importância, é dado uma nomenclatura especial: **arquitetura do conjunto de instruções** (ISA), ou simplesmente arquitetura de uma máquina. O conjunto de instruções, inclui qualquer coisa que programadores necessitam para saber como programar em linguagem de máquina corretamente, incluem instruções, dispositivos E/S, entre outros. Tipicamente o sistema operacional irá encapsular os detalhes da realização da E/S, alocação de memória, e outras funcionalidades de baixo nível do sistema, portanto, programadores não precisam se preocupar com estes detalhes. Dois tipos de conjuntos de instruções existentes serão explicados a diante.

#### 4.1.9.1 CISC - Complex Instruction Set Computer

CISC é uma arquitetura de processador, que teve como princípio o uso eficiente de memória e a facilidade de programar. Cada instrução desse processador tem várias operações em seu interior ajudando o programador a implementar programas. A maioria dos projetos de microprocessadores comuns - incluindo o Intel (R) 80x86 e séries Motorola 68K - também seguem a filosofia CISC (CISC, 2013).

Os primeiros processadores utilizados para decodificar e executar instruções, principalmente para trabalhos simples, com poucos registros, funcionaram. Porém não para sistemas complexos. Assim, seus criadores construíram uma lógica simples para controlar os caminhos de dados entre os vários elementos do processador, e usou um conjunto simplificado de instruções de microcódigo para controlar a lógica do caminho de dados.

A microprogramação é uma representação simbólica do controle em forma de instruções, chamadas microinstruções, que são executadas em uma micromáquina simples (PATTERSON, 2005), podemos ver na figura 6 o exemplo de um micro-





#### 4.1.9.3 Comparação entre RISC e CISC

Como visto anteriormente, a arquitetura CISC apresenta instruções complexas executadas em vários ciclos de clock, enquanto a arquitetura RISC possui somente instruções que são executadas em apenas um ciclo. No quesito de acesso a memória, o conjunto complexo possui vários tipos de modos de endereçamento de memória, facilitando o trabalho do programador. Os microprocessadores RISC são considerados máquinas *load/store*, o que é possível pois ele possui uma grande quantidade de registradores dos mais variados tipos. A clara vantagem da arquitetura RISC é em questão de velocidade, pois por possuir um conjunto de instruções, com todas instruções com formato fixo, ocorre um uso intenso de *pipeline*. No desenvolvimento de um microprocessador CISC, a complexidade do sistema se encontra no microprograma, como visto um exemplo na figura 6, e na arquitetura RISC a complexidade se encontra no compilador. Ambas arquiteturas são muito bem aceitas no mercado e cada uma possui suas vantagens e desvantagens para serem aplicados em diversos tipos de projetos.

#### 4.1.10 Memória Cache

De acordo com (TARNOFF, 2011), a memória cache consegue realizar a ponte entre a diferença de velocidade entre o processador e a memória. A cache é um pequeno espaço de alta velocidade que se situa entre o processador e a memória na hierarquia de memórias.

Cache, foi o nome escolhido para representar o nível na hierarquia de memória entre o processador e a memória do primeiro computador comercial a ter este nível extra, como pode ser visto na Figura 7 item (b). A razão da cache (*SRAM*) ser menor é devido a maiores decodificadores de endereço, pois são mais lentos do que menores decodificadores de endereço. Quanto maior a memória é, mais complexo é seu decodificador de endereço, e mais tempo leva para identificar o valor da posição de memória do endereço desejado (TARNOFF, 2011).

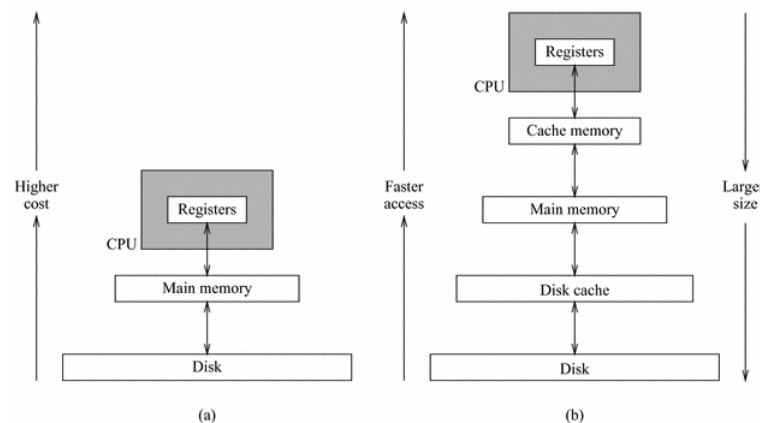


Figura 7: Hierarquia de Memórias (TARNOFF, 2011)

É possível utilizar este conceito e dar um passo a diante introduzindo uma *SRAM* menor entre o cache e o processador, dentro do próprio envólucro do processador, criando dois níveis de memória cache L1 e L2, como podemos ver na figura 8 (TARNOFF, 2011).

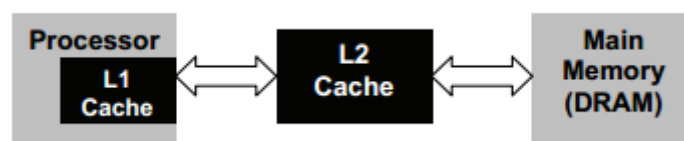


Figura 8: Dois níveis de memória cache L1 e L2 (TARNOFF, 2011)

### 4.1.11 Pipeline

#### 4.1.11.1 Definição

De acordo com (PATTERSON, 2005), *Pipelining* é uma técnica de implementação no qual multiplas instruções são sobrepostas durante a execução, como visto na figura 9. Hoje em dia, *pipelining* é a chave para fazer processadores rápidos (PATTERSON, 2005).

Como podemos ver, a utilização de *pipeline* torna a execução muito mais rápida

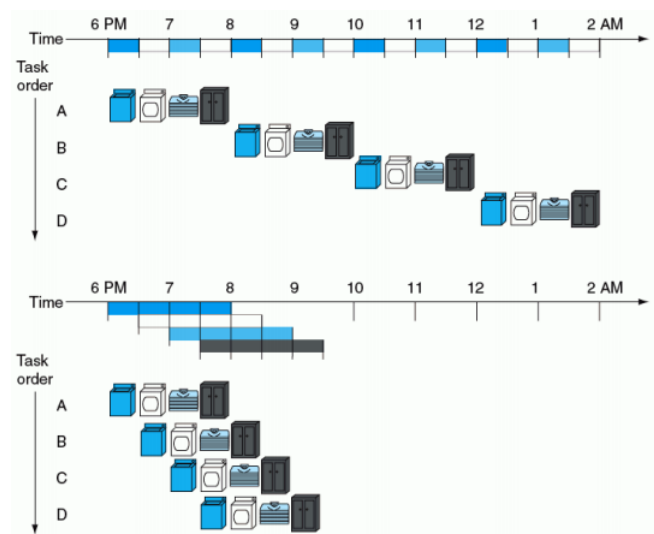


Figura 9: A analogia de uma lavanderia com o pipeline (PATTERSON, 2005)

do que se as tarefas fossem executadas sequencialmente. Como exemplo utilizaremos o microprocessador MIPS, que possui 5 estágios de execução de uma instrução, sendo elas: Decodificação da Instrução (*Instruction Fetch*), Leitura dos Registros (*Reg*), Operação de ULA (*ALU*), Acesso ao dado e Escrita no Registro. Na figura 10 podemos ver quantitativamente a diferença do processo com utilização de *pipeline*.

#### 4.1.11.2 Desenvolvimento de um conjunto de instrução para o Pipeline

Primeiramente, todas as instruções do MIPS possuem o mesmo comprimento, esta restrição faz com que fique mais fácil decodificar as instruções no primeiro e no segundo estágio do *pipeline*. Em um conjunto de instruções, como o do IA-32, onde instruções variam de 1 até 17 bytes, o *pipelining* é consideravelmente mais complicado (PATTERSON, 2005). Atualmente a arquitetura do IA-32 transforma as instruções em microinstruções, sendo essas utilizadas para a realização do *pipeline* com uma arquitetura *CISC*.

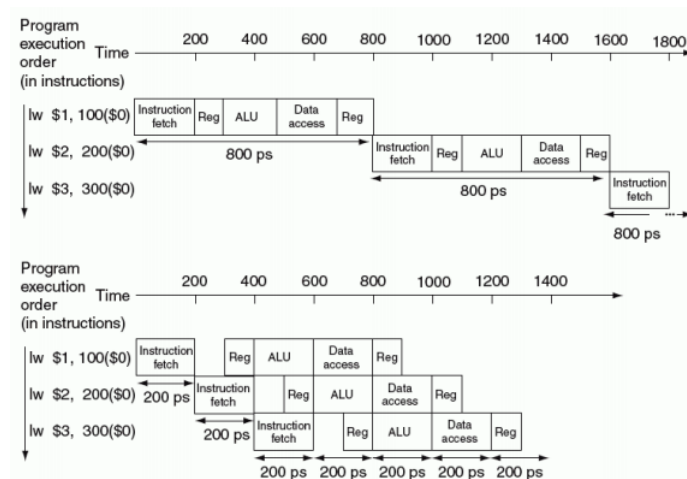


Figura 10: Comparação quantitativa da utilização de *Pipeline* utilizando a instrução *Load Word* do microprocessador MIPS. (PATTERSON, 2005)

#### 4.1.11.3 Problemas do Pipeline

O **primeiro** tipo de problema do *pipeline*, é o problema estrutural, que significa que o hardware não suporta a combinação de instruções ao qual desejamos que sejam executadas em um único ciclo de clock. Ao caso de termos somente uma única memória, no segundo e quarto passo, são necessários acessos a memória que não podem ser executadas de uma única vez (PATTERSON, 2005). O **segundo** tipo de problema, quanto a acesso aos dados, ocorre quando o *pipeline* fica travado no momento em que ocorre uma etapa deve esperar outra etapa completar para continuar, por exemplo no seguinte trecho de código do MIPS, na figura 11.

```
add    $s0, $t0, $t1
sub    $t2, $s0, $t3
```

Figura 11: Trecho de código que exemplifica um problema do *pipeline* (PATTERSON, 2005).

Quando este tipo de problema ocorre, um fato chamado *bubble* aparece no meio do *pipeline*, como se fosse uma linha vazia entre dois processos do *pipeline*, podendo ser notado na figura 12.

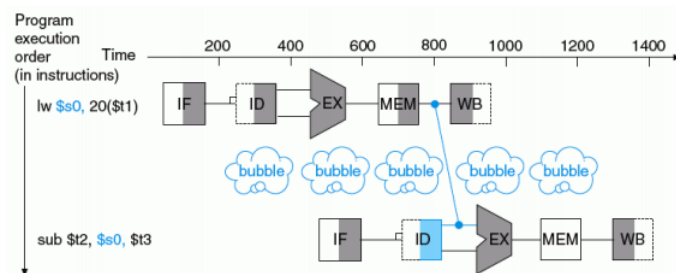


Figura 12: Fenômeno do tipo *bubble* no *pipeline* semelhante ao problema da figura 11 (PATTERSON, 2005).

Para resolver este tipo de problema, o código pode ser reescrito de uma forma que evite a dependência das informações, essa correção pode ser realizada tanto pelo compilador como pelo programador.

O terceiro tipo de problema, é chamado de problema de controle, também chamado de problema de *branch*, surge da necessidade de tomar uma decisão baseada nos resultados de uma instrução enquanto outras estão em execução (PATTERSON, 2005).

As instruções de *branch* são instruções de desvios condicionais no código, portanto a execução da próxima instrução depende se o *branch* causará desvio ou não, caso o desvio ocorra, o fenômeno de *bubble* ocorre novamente, pois o *pipeline* necessita ficar um tempo parado esperando a tomada de decisão, semelhante a figura 13.

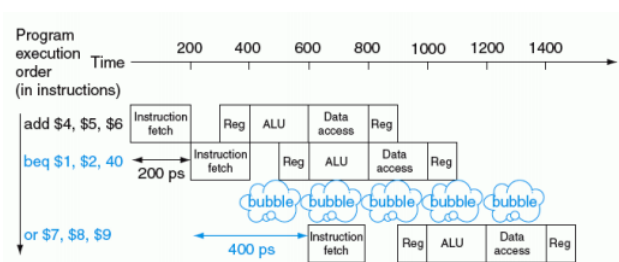


Figura 13: Fenômeno do tipo *bubble* no *pipeline* quando ocorre o problema de *branch* (PATTERSON, 2005).

Para solucionar este problema, desenvolveu-se uma estrutura dentro do próprio

microprocessador, chamada *branch predictor*. O *branch predictor* é um circuito digital que tenta adivinhar qual vai ser o caminho que o branch irá seguir, para continuar preenchendo o *pipeline*. Hoje em dia, tal estrutura desempenha um papel fundamental para o desenvolvimento de processadores de alta performance.

#### 4.1.12 Processadores Multi-Core e Hyper-Threading

De acordo com (BINSTOCK, 2013), basicamente, multi-core é um design ao qual um único processador físico, contém o núcleo lógico de mais de um processador, como pode ser visto na figura 14. O objetivo deste design é habilitar o sistema a executar mais tarefas simultaneamente e desse modo alcançar um maior desempenho do sistema.

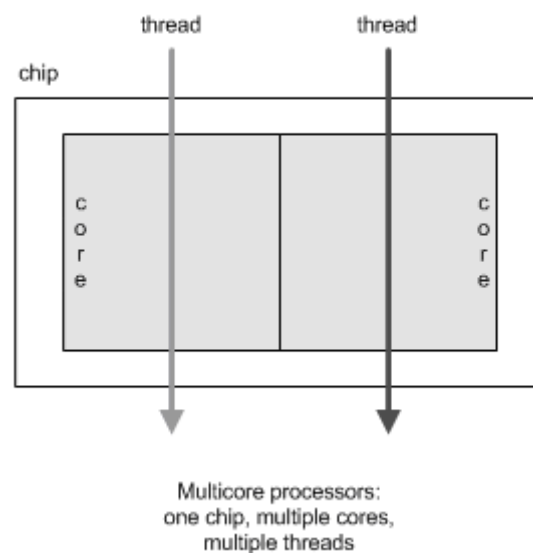


Figura 14: Processador com dois núcleos dentro de um único processador (BINSTOCK, 2013).

Programas são executados, à partir de threads, essas threads são sequências de instruções relacionadas. Nos primórdios do PC, a maioria dos programas consistia de uma única thread, o sistema operacional naquela época era capaz de executar somente um programa por vez, tendo como resultado uma sensação dolorosa que

seu PC congelava enquanto imprimia um documento ou uma folha de trabalho, o sistema era incapaz de realizar duas tarefas simultaneamente. Inovações no sistema operacional introduziram os sistemas multitarefa, no qual um programa pode ser brevemente suspenso enquanto executa outro, de uma maneira que o usuário não perceba. Realizando esta troca rapidamente, o sistema tem a aparência de estar executando os programas simultaneamente, contudo o processador estava de fato, executando uma única thread.

No início dos anos 2000, o design de processadores ganhou recursos adicionais, como uma lógica dedicada para operações com ponto flutuante, para suportar a execução de múltiplas instruções em paralelo. A Intel®, definiu que o melhor uso desses recursos empregando-as para executar duas threads simultaneamente no mesmo núcleo de processamento, figura 15. A Intel® nomeou este procedimento simultâneo como *Hyper-Threading Technology*® e lançou-a nos processadores **Intel Xeon** ® em 2003. De acordo com medidores da Intel®, aplicações que eram escritas utilizando múltiplas threads realizaram suas tarefas 30% mais rápido do que se for executado utilizando a tecnologia **HT**. Para induzir o sistema operacional a reconhecer um processador como duas possibilidades de execução de *pipeline*, *chips* foram feitos para aparentar ser dois processadores lógicos.

## 4.2 Microprocessador 8086/8088

### 4.2.1 História

Em 1968 a empresa Intel foi fundada por Robert N. Noyce, Gordon E. Moore e Andrew Grove. Robert N. Noyce foi o inventor do circuito integrado.

Em 15 de novembro de 1971 nascia o processador 4004 de apenas 4 bits e grande capacidade para realizar operações aritméticas. Esse microprocessador possuía 2.300 transistores para processar 0,06 milhões de instruções (60.000) por segundo e não tinha o tamanho de um selo de carta. Para se ter uma idéia, o ENIAC,

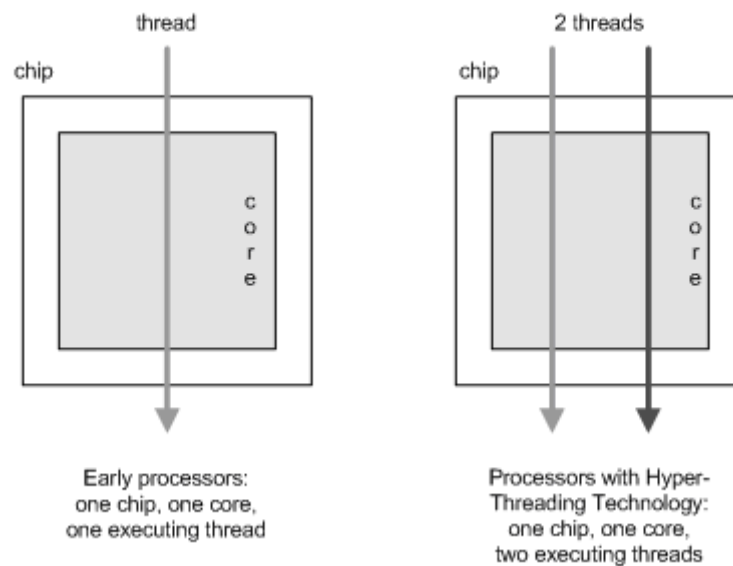


Figura 15: Exemplo de um processador com a tecnologia *Hyper-Threading* (BINS-TOCK, 2013).

primeiro computador de que se tem notícia , construído em 1946 para fins bélicos, ocupava sozinho 1.000 metros quadrados e fazia o mesmo que o 4004.

O 4004 foi usado apenas para cálculos poucos complexos (4 operações), ele era um pouco mais lento que o Eniac II mais tinha a vantagem de possuir a metade do tamanho, esquentar menos e consumir menos energia.

Surgiu em 1972 o 8008, primeiro processador de 8 bits, com capacidade de memória de 16 Kbytes (16.384 bytes), enquanto o 4004 possuía apenas 640 bytes.

Em 1974 é lançado o 8080, com desempenho seis vezes maior que o anterior com um clock de 2MHz, rodava um programa da Microsoft chamado Basic, possuía apenas led's. Além de 16Kb de memória Rom onde ficava o sistema, possuía 4Kb de memória Ram, seus controles eram através de botões, possuía drive de disquete 8"com capacidade de 250 Kb.

O 8086 foi o primeiro processador feito pela Intel para ser usado com os PC's. Ele contava com um barramento de dados interno e externo de 16 bits. E foi



este o motivo de não ter sido o processador mais utilizado. Inicialmente ele foi distribuído em versões de 4,77 MHz. Posteriormente vieram versões turbinadas de 8 e 10 MHz.

A história do 8086 é bem simples. Quando ele foi lançado, a maioria dos dispositivos e circuitos disponíveis eram de 8 bits. Era muito caro adaptar todo o resto do computador por causa do processador. E foi isso que acabou com o 8086. Para adaptar-se a este mercado a Intel lançou o 8088, com barramento externo mais lento, de 8 bits. Deixando a diferença de barramento externo, ambos eram idênticos.

Quando este chip, o 8086, veio a ser utilizado já era tarde demais. Ele chegou até a fazer parte de uns poucos clones do IBM PC e posteriormente em dois modelos do IBM PS/2 e de um computador Compaq. Mas sua destruição veio com um processador mais poderoso, o 80286.

Outro possível fator para a pouca aceitação deste processador pode ter sido a falta de unidades devido à demanda. Nunca havia chips suficientes para produzir computadores em grande escala.

#### **4.2.2 Visão preliminar**

Tanto o 8086 como o 8088 utilizam o conceito de fila de instruções para melhorar a velocidade do computador. Uma área no interior da pastilha denominada fila de instruções retém diversos bytes de uma instrução. Quando o computador estiver pronto para a próxima instrução, ele não precisa pegar muitos bytes na memória, uma vez que toda instrução poderá já se encontrar na fila. O conceito de fila aumenta o numero de operações realizadas por segundo uma vez que o processador vai estar utilizando o bus de dados e endereços por menor período de tempo, disponibilizando este para outros dispositivos. A fila do 8086 tem 6 bytes de largura e a do 8088 tem 4 bytes.

O 8086 pode acessar 1 megabyte de memória de leitura/escrita ( $2^{20}$  bytes).

Entretanto ele utiliza um esquema de endereçamento de memória denominado segmentação, em que determinados registradores de segmento fornecem um endereço básico que é automaticamente acrescentado a cada endereço de usuário de 16 bits na máquina.

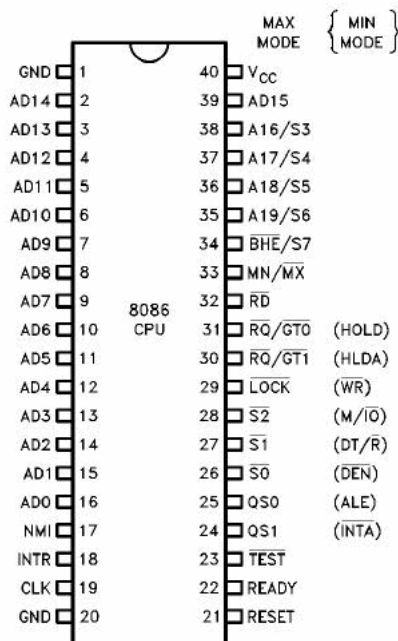


Figura 16: Pinagem do IA-PX 86 (WAITE, 1988)

A parte do endereço e todas as vias de dados são multiplexados em 16 pinos (os 16 pinos do barramento de dados é o que o classifica como um microprocessador de 16 bits). Os 4 bits restantes são implementados por quatro pinos adicionais de endereço, que também são utilizados para status (como mostra a figura 16). É requerido um clock externo à pastilha e é utilizado um controlador de via externo à pastilha para demultiplexar a via de dados e de endereço.

O 8086 tem uma estrutura de interrupção poderosa. Quase todos os microprocessadores de 8 bits requerem pastilhas externas adicionais para permitir operações de interrupção adequadas. No 8086, cerca de 1000 bytes são colocados de lado para conter até 265 apontadores de vetores (lembrando que cada apontador é um ende-

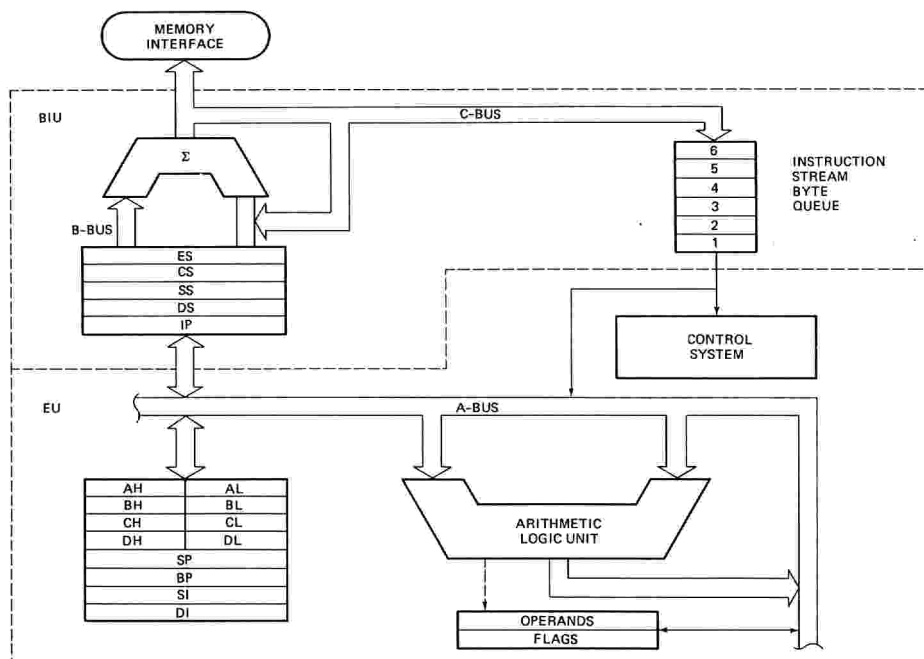


Figura 17: Arquitetura do 8086/8088 (WAITE, 1988)

reço contendo seletor:offset, ou seja, 4 bytes). O 8086 executa operações de E/S (ou I/O) em um espaço separado da memória denominado espaço de E/S. Tem um total de 64 KBytes. Para ser utilizado pelos co-processadores é fornecido um pino de entrada TEST especial (pino 23, figura 16) para permitir ao 8086 saber quando é que o co-processador completou a tarefa. Quando uma instrução WAIT é acionada, o 8086 pára e aguarda do co-processador externo, ou qualquer outro hardware, um sinal para que continue pela alteração do pino TEST.

### 4.2.3 Memória

A largura de memória "vista" por um microprocessador é determinada pela quantidade de bits que o microprocessador pode acessar por vez. Esta quantidade é determinada pela largura do seu barramento de dados externo. O microprocessador 8086 possui um barramento de dados de 16 bits o que permite acessar dois bytes da memória consecutivamente (cada referência à memória acessa 2 bytes), enquanto,

o 8088 possui um barramento de dados de 8 bits, ou seja, uma referência à memória acessa 1 byte.

Os microprocessadores 8086/8088 podem acessar (ler ou escrever) bytes ou palavras (2 bytes) que se localizam tanto em endereços pares como em endereços ímpares da memória. No entanto, dependendo do microprocessador e do tamanho do dado a ser acessado, pode ser necessário que o microprocessador efetue uma ou duas referências para a memória. A tabela 1 resume o número de referências necessárias para os microprocessadores 8086/8088 acessarem dados de 8 e 16 bits em endereços pares e ímpares da memória.

Tabela 1: Número de Referências 8086/8088

Tamanho do Dado	Endereço	Número de Referências	
		8086	8088
Byte	Par	1	1
	Ímpar	1	1
Palavra	Par	1	2
	Ímpar	2	2

O espaço de endereçamento da memória do microprocessador 8088 é organizado como um vetor linear de 1 MByte, sendo que cada localização deste espaço é referenciada por meio de um endereço único de 20 bits chamado endereço físico.

No microprocessador 8086 o espaço de endereçamento da memória é organizado em dois bancos de 512 KBytes cada, chamados bancos par e ímpar, respectivamente. O banco par é conectado ao 8086 por meio de 8 bits menos significativos do barramento de dados, já o banco ímpar é conectado por meio dos 8 bits mais significativos do barramento de dados.

#### 4.2.4 Arquitetura do microprocessador

A unidade de execução (EU) executa as operações aritméticas e lógicas, além de controlar a maioria dos registros internos e manipular os dados. Em contraste, a unidade de interface de barramento (BIU representado por um símbolo de somatória na figura 17) executa as operações de barramento, incluindo a transferência de dados, e controla os registros restantes do microprocessador.

As duas unidades de processamento são capazes de executar suas operações de forma independente, isto é, cada unidade pode fazer suas tarefas sem a assistência da outra unidade.

Embora a unidade de execução EU esteja isolada do barramento do sistema, pela unidade de interface de barramento (BIU), ela ainda pode acessar o barramento para certas operações. A EU ganha o acesso do barramento requisitando que a BIU temporariamente suspenda suas atividades. A EU então assume o controle da BIU de modo a poder usar o barramento para enviar ou receber informações.

Da figura 17 nota-se que a EU consiste de duas seções principais que são os registros de propósito geral e a unidade aritmética e lógica - ALU. Os registros de propósito geral do 8086/8088 presentes na EU são áreas de armazenamento com capacidade de manter dados binários que foram ou serão usados pelo microprocessador. A grande vantagem destes registros se deve ao fato de se poder acessá-los com maior facilidade e de forma muito mais rápida do que uma determinada localização da memória.

Todos os registros de propósito geral possuem capacidade aritmética e lógica. Dados podem ser armazenados através da BIU ou transferidos para memória. Os registros de propósito geral são todos de 16 bits, entretanto os bytes menos e mais significativos podem ser usados separadamente como registros de 1 byte, dessa forma tem-se os seguintes registros: AH, AL, BH, BL, CH, CL, DH e DL.

A maioria das operações que se pode executar em um dos registros de propósito geral podem também ser executadas nos demais registros. Contudo, os registros

de propósito geral tem uso específico para algumas poucas instruções. Devido a este fato, os registros de propósito geral recebem nomes descritivos que são: Acumulador (AX), Base (BX), Contador (CX), Dado (DX), índice fonte (SI), índice destino (DI), ponteiro base (BP) e ponteiro da pilha (SP).

A unidade aritmética e lógica, ALU, recebe instruções e então executa sobre os dados especificados pela instrução uma operação aritmética, como soma ou subtração ou lógica como OR ou AND.

A seção de lógica de controle de barramento é responsável por todas as operações de barramento do microprocessador como, por exemplo, a busca de dados para a unidade aritmética e lógica (ALU). Quando necessário a seção de lógica de controle de barramento acessa localizações particulares na memória, de modo que a EU possa enviar ou receber informações para ou destas localizações.

A seção de lógica de controle de barramento também controla o sentido do fluxo de informação no barramento. Quando uma informação tiver que ser enviada à memória, esta seção assegura que os sinais de controle sejam os apropriados para a transmissão. O mesmo ocorre quando for necessário receber uma informação. A fila de instruções age como um "encanamento" onde os bytes das instruções trazidos da memória são armazenados antes do seu uso pela EU. No 8086 esta fila é composta de 6 localizações de 8 bits cada, enquanto no 8088 a fila de instruções é composta de 4 localizações de 8 bits. Pode-se dizer que estas localizações servem como áreas para o armazenamento temporário (buffer) das instruções trazidas da memória.

No microprocessador 8086/8088 é a seção lógica de controle de barramento BIU, que busca os bytes das instruções do programa na memória e os coloca na fila de instruções. Esta fila mantém estes bytes até que a EU esteja pronta para aceitá-las.

Devido as características do microprocessador 8086, a BIU sempre busca as instruções acessando palavras (16 bits) que se encontram armazenadas em endereços pares. A única exceção ocorre quando existe um desvio (JUMP) para uma instru-

ção que se encontra armazenada na memória em um endereço ímpar. Quando isso ocorre o 8086 traz para a fila de instruções um único byte da instrução e a seguir continua acessando palavras que se encontram armazenadas em endereços pares. Este fato não ocorre em um 8088 visto que seu barramento de dados é de 8 bits. É importante salientar que as instruções de um microprocessador 8086 podem ter de um a seis bytes de comprimento.

Independente do microprocessador, caso ocorra um desvio na sequência de execução das instruções, a fila de instruções é automaticamente esvaziada e a BIU passa a buscar as instruções a partir da nova localização de memória para a qual se deu o desvio.

#### **4.2.5 Endereçamento da memória**

Ao contrário dos microprocessadores que utilizam um modelo de memória linear, ou seja, que enxergam o seu espaço de endereçamento de memória de forma sequencial, o 8086/8088 utiliza um modelo de memória denominado segmentada. Neste modelo o microprocessador enxerga o espaço de endereçamento de memória dividido em vários segmentos.

Um segmento nada mais é do que uma região continua do espaço de endereçamento de memória que é tratada pelo microprocessador como uma unidade lógica. Por serem unidades lógicas e não físicas, os segmentos podem localizar-se em qualquer parte do espaço de endereçamento linear. Conseqüentemente, dois ou mais segmentos distintos podem ser: adjacentes, parcialmente sobrepostos, totalmente sobrepostos ou desconexos.

No modelo de memória segmentada do 8086/8088, o microprocessador somente pode acessar as localizações de seu espaço de endereçamento por meio de um determinado segmento. Assim para este microprocessador, um segmento funciona como uma "janela móvel" sobre o seu espaço de endereçamento linear, através do qual ele acessa as localizações do seu espaço de endereçamento.

Para o microprocessador 8086/8088, os segmentos podem se localizar em qualquer parte do seu espaço de endereçamento de memória. Entretanto, devido a arquitetura deste microprocessador, um seguimento somente pode começar em uma localização do espaço de endereçamento de memória, cujo endereço físico seja múltiplo de 16 (10H).

O endereço físico do início de um segmento do 8086/8088 é designado por endereço base, os 16 bits mais significativos do endereço base correspondem a um endereço chamado endereço de segmento ou seletor. Conseqüentemente, cada segmento do 8086/8088 é identificado por um endereço de segmento ou seletor de 16 bits.

Dentro de cada segmento o endereçamento se dá de forma linear, porém relativo ao endereço de início do segmento. Cada localização do espaço de endereçamento de memória dentro do segmento é identificado por meio de um endereço de 16 bits chamado endereço efetivo (Effective Address - EA) ou endereço de offset (offset).

Devido a segmentação do espaço de endereçamento de memória e ao endereçamento relativo dentro do segmento, cada localização do espaço de endereçamento de memória do microprocessador é identificado por meio de um endereço de 32bits chamado de endereço lógico (seletor : offset).

A forma como o microprocessador converte um endereço lógico de 32 bits em um endereço físico de 20 bits, faz com que vários endereços lógicos identifiquem uma mesma localização do espaço de endereçamento de memória. A conversão de endereço lógico em endereço físico se dá multiplicando o seletor por 10h e em seguida somando o offset. O endereço físico pode ser representado na forma normalizada para obter-se o endereço lógico, os 4 bits menos significativos do endereço físico correspondem ao endereço de offset e os 16 bits mais significativos do endereço físico correspondem ao endereço de segmento.



### 4.2.6 Conjunto de registros

Embora os registros SI, DI, BP e SP possuam capacidade aritmética e lógica de 16bits, como os demais registros de propósito geral de 16 bits, estes registros geralmente são usados para manter o endereço efetivo (offset) de localizações de memória ou para apontar estruturas de dados na memória.

Particularmente, o registro SP é utilizado para manter o endereço efetivo do topo de uma estrutura de dados na memória que funciona como uma pilha (stack), onde o último dado a ser armazenado nesta estrutura deverá ser o primeiro a ser retirado (LIFO - Last Input/first output). Uma vez que esta estrutura é de vital importância para o funcionamento do microprocessador, a utilização do registro SP em operações aritméticas ou lógicas não é aconselhada.

Como o microprocessador 8086/8088 utiliza um modelo de memória segmentada, o acesso às localizações do seu espaço de endereçamento de memória é feito através de segmentos mediante endereços lógicos de 32bits. Por isso, para poder acessar as localizações dentro de um determinado segmento é necessário que o 8086/8088 conheça o endereço deste segmento, ou seja, o seu seletor. Para isso, o microprocessador 8086/8088 dispõe de um conjunto de registros especiais chamados registro de segmentos, cuja finalidade, como o próprio nome indica, é manter endereços de segmentos.

Para acessar uma localização do espaço de endereçamento de memória que não é abrangida por um dos segmentos apontados pelos registros de segmentos, é necessário alterar o conteúdo de um dos registros de segmento, de modo que este registro aponte para um segmento que venha a abranger a localização que se deseja acessar.

Um programa, geralmente, é composto por três partes ou segmentos que são: segmento de códigos, segmento de dados e segmento de pilha. As partes ou segmentos de um programa podem residir em qualquer ordem e em qualquer lugar do espaço de endereçamento de memória que tenha memória física.

Parte do programa	Registro de segmento
Código do programa	CS
Dados do programa	DS
Pilha do programa	SS
Área extra da memória	ES

O ponteiro de instruções (IP) é um registro de 16 bits, que sempre mantém o endereço efetivo da localização de memória onde está armazenado o código de máquina da próxima instrução a ser executada. Este registro é automaticamente incrementado pelo microprocessador de acordo com o tamanho desta instrução.

A representação de um endereço lógico se dá na forma seletor:offset. Quando os conteúdos de dois registros são usados para especificar um endereço lógico, o endereço lógico geralmente é escrito na forma RS:RO onde RS corresponde ao nome do registro que mantém a parte do endereço lógico que se refere ao endereço de segmento e RO corresponde ao nome do registro que mantém a parte do endereço lógico que se refere ao endereço efetivo (offset). Os registros que podem ser utilizados para apontar localização dentro do segmento de dados são os registros BX, SI e DI.

No segmento de stack o ponteiro de stack (SP) mantém o endereço efetivo da localização de memória que corresponde ao topo da pilha. O endereço de segmento é mantido no registro de segmento SS.

O poder real de um microprocessador está na sua capacidade de tomar decisões. O 8086/8088 baseia as suas decisões no conteúdo de um registro de 16 bits chamado registro de flags. Este registro é automaticamente atualizado para manter informações a respeito da ultima operação aritmética ou lógica que o microprocessador executou. Apenas 9 flags do registro de flags são utilizados, são eles: OF - overflow, DF - direção, IF - interrupção, TF - armadilha, SF- sinal, ZF

- zero, AF - carry auxiliar, PF- paridade e CF - carry.

#### 4.2.7 Instruções

Cada instrução (cartão de referencia do microprocessador 8086/8088 em anexo) possui uma representação binária única que é conhecida por código de máquina. Este modelo binário ou código de máquina da instrução, quando for aplicado aos circuitos internos do microprocessador faz com que ele execute uma operação particular. Uma instrução de um modo geral pode ser dividida em duas partes: código de operação (opcode) e operandos.

O código de operação (opcode) é a parte da instrução que identifica a operação básica a ser executada pelo microprocessador. Enquanto, os operandos identificam os dados que devem ser utilizados.

Dependendo da instrução ela pode ter 2 operandos, 1 operando ou nenhum operando. Na representação das instruções com dois operandos, o operando destino é sempre especificado em primeiro, e este é separado do operando fonte por uma vírgula. Quando um operando se refere a um registro de 8 ou 16 bits ele é chamado de operando registro, e quando ele refere a uma localização de memória ele é chamado operando memória. Por outro lado, um operando imediato se refere a um dado de 8 ou 16 bits que é especificado na própria instrução.

Um operando pode se encontrar em um registro (operando registro), numa localização de memória (operando memória), num dispositivo periférico de entrada/saída, ou até mesmo estar codificado no próprio código de máquina da instrução (operando imediato). A maneira na qual a localização de um operando é especificada chama-se modo de endereçamento. O 8086/8088 utiliza duas categorias de endereçamento geral que são, o modo de endereçamento registro ou modo registro e o modo de endereçamento memória ou modo memória. Pode-se dizer que uma instrução do 8086/8088 utiliza o modo de endereçamento registro quando nenhum dos operandos da instrução se refere a memória. Por outro lado, uma instrução

utiliza o modo de endereçamento memória quando um dos operandos se refere a um operando memória.

Quando se trata de um operando memória até 3 valores de 16 bits podem ser somados para especificar seu endereço efetivo. Nesta soma qualquer carry que venha a ocorrer é ignorado pelo microprocessador, por um endereço efetivo (offset) no 8086/8088 é representado por um número de 16 bits.

Sobre as 2 categorias gerais de endereçamento existem 7 modos específicos de endereçamento.

#### **4.2.7.1 Endereçamento por registro**

Uma instrução utiliza o modo de endereçamento por registro quando os operandos fonte e destino forem registros.

Exemplo: MOV AX, BX.

#### **4.2.7.2 Endereçamento imediato**

Uma instrução utiliza o modo de endereçamento imediato quando o operando fonte desta instrução for imediato.

Exemplos: MOV CX, 1234h (modo registro); MOV [2011H], 1234H (modo memória).

#### **4.2.7.3 Endereçamento Direto**

Uma instrução utiliza o modo de endereçamento direto quando o operando destino ou operando fonte da instrução se refere a uma localização de memória, cujo endereço efetivo é especificado na própria instrução.

Exemplos: MOV CX, [1234H]; MOV [1234H], DX

#### 4.2.7.4 Endereçamento indireto por registro

Uma instrução utiliza o modo de endereçamento indireto por registro quando o operando destino ou o operando fonte da instrução se refere a um operando memória, cujo endereço efetivo se encontra armazenado num registro.

Exemplo: MOV CX, [BX];

#### 4.2.7.5 Endereçamento por base

Uma instrução utiliza o modo de endereçamento por base quando o operando destino ou operando fonte da instrução se refere a um operando memória, cujo endereço efetivo (EA) é especificado pela soma do conteúdo do registro BX ou BP com um número de 8 ou 16 bits chamado deslocamento. No caso do deslocamento de 8 bits o microprocessador estende o sinal até se obter um número binário sinalizado de 16 bits, quando ocorrer um deslocamento de 16 bits o microprocessador interpreta como um número absoluto de 16 bits.

Quando o conteúdo do registro BP é utilizado no cálculo, o 8086/8088 automaticamente associa o endereço efetivo do operando memória com o conteúdo do registro de segmento de stack (registro SS), de modo a formar o endereço lógico do operando memória. Neste caso, portando, o 8086/8088 acesa o operando memória no segmento da pilha.

Exemplo: MOV AX, [BX + 1000H]

#### 4.2.7.6 Endereçamento Indexado

Uma instrução utiliza o modo de endereçamento indexado quando o operando destino ou o operando fonte da instrução se refere a um operando memória, cujo endereço efetivo é especificado pela soma do conteúdo do registro SI ou DI, com um número binário de 8 ou 16 bits chamado deslocamento. No caso do deslocamento de 8 bits o microprocessador estende o sinal até se obter um número

binário sinalizado de 16 bits, quando ocorrer um deslocamento de 16 bits o microprocessador interpreta como um número absoluto de 16 bits.

Exemplo: MOV AX, [SI + 2000H]

#### 4.2.7.7 Endereçamento por base indexado

Uma instrução utiliza o modo de endereçamento por base indexado quando o operando destino ou o operando fonte da instrução se refere a um operando memória, cujo endereço efetivo é especificado pela soma do conteúdo do registro BX ou BP, com o conteúdo do registro SI ou DI e opcionalmente um número binário de 8 ou 16 bits chamado deslocamento.

Exemplo: MOV AX, [BX + SI + 2000H]

### 4.3 VHDL

A linguagem VHDL foi desenvolvida pela necessidade de um padrão para o intercâmbio de informações entre fornecedores de equipamentos para o Departamento de Defesa dos Estados Unidos. Esta linguagem é usada para descrever o comportamento de circuitos ou sistemas eletrônicos a partir de um sistema físico. É importante lembrar que esta é uma linguagem concorrente, ou seja, os comandos envolvidos em um mesmo evento acontecem simultaneamente, diferentemente de linguagens de programação de software. Além disso, é uma linguagem portátil, ou seja, independe da tecnologia ou do fornecedor. A Figura 18 mostra as etapas de um projeto utilizando VHDL.

Na lógica programável, há dois dispositivos principais: CPLD (*Complex Programmable Logic Devices*) e FPGA (*Field Programmable Gate Arrays*) no campo de ASIC (*Application Specific Integrated Circuits*). A partir do código VHDL, pode-se fabricar um chip de alta complexidade ou executá-lo em um dispositivo programável.

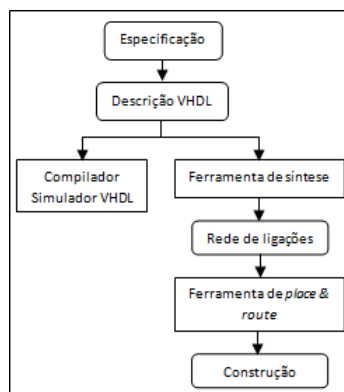


Figura 18: Etapas de Projeto Usando VHDL

O código VHDL é composto de três partes principais: Biblioteca, Entidade e Arquitetura.

1. Biblioteca (*Library*) : É composta de todas as bibliotecas usadas no projeto.
2. Entidade (*Entity*): Determina as entradas e saídas do circuito.
3. Arquitetura (*Architecture*): Contém o código VHDL que descreve a forma como o circuito deve se comportar (*function*).

### 4.3.1 Biblioteca

Uma biblioteca têm várias implementações de código que são úteis a outros projetos. A Figura 19 ilustra a estrutura típica de uma biblioteca. O código, normalmente, é escrito na forma de funções (*Functions*), procedimentos (*Procedures*) ou componentes (*Components*), que ficam dentro de pacotes (*Packages*) e depois é compilado na biblioteca.

### 4.3.2 Entidade

Uma entidade de projeto pode representar uma simples porta lógica como um sistema completo. A declaração da entidade define a interface com o ambiente

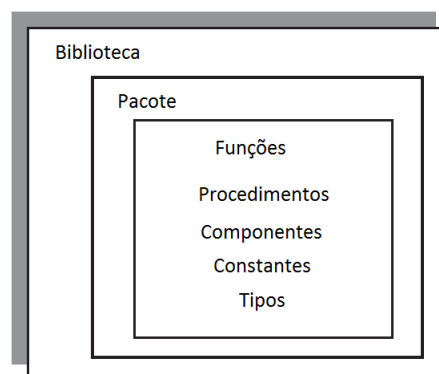


Figura 19: Estrutura de uma Library (PEDRONI, 2011)

exterior, como, por exemplo, as entradas e saídas. Os quatro modos de porta são:

1. IN : Apenas entrada.
2. OUT: Apenas saída.
3. BUFFER: Saída que controla sinal interno.
4. INOUT: Porta bidirecional

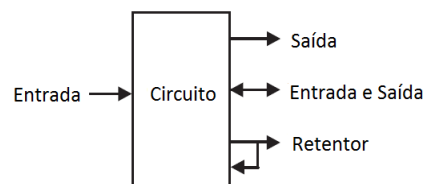


Figura 20: Tipos de Entrada e Saída (PEDRONI, 2011)

### 4.3.3 Arquitetura

A arquitetura contém a parte lógica da entidade utilizando suas entradas e saídas. Ainda é possível declarar sinais internos dentro da arquitetura, estes sinais são chamados classes. São elas:



1. CONSTANT - Define um objeto com valor estático.
2. VARIABLE - São objetos que podem ter o seu valor alterado, e são usadas em regiões de código seqüencial.
3. SIGNAL - São objetos que podem ter o seu valor alterado, e são usadas em regiões de código concorrente ou seqüencial. É bom lembrar que a porta de uma entidade realiza a declaração de um sinal.

```
ARCHITETURE architecture_name OF entity_name IS  
    [declarations]  
BEGIN  
    (code)  
END architecture_name;
```

Figura 21: Sintaxe de uma Architecture

A arquitetura é composta de duas partes, uma para declarações, onde sinais e constantes são declarados e outra onde fica o código. Como no caso da entidade, o nome da arquitetura pode ser qualquer nome (exceto palavras reservadas), até mesmo o nome da entidade.

## 5 Desenvolvimento

### 5.1 Requisitos de Funcionamento

#### 5.1.1 Software

- Altera Quartus II Version 13.1 Build 162 09/02/2014 SJ Web Edition
- ModelSim Altera Starter Edition 13.1
- Sistema Operacional Windows 7/8/8.1

#### 5.1.2 Hardware

- Microcomputador de 1GHz ou superior
- 256 MB de Memória RAM
- 4GB de espaço disponível em disco

#### 5.1.3 Ferramentas Utilizadas no Projeto

- Software Quartus II 13.1 Web Edition
- ModelSim Altera Starter Edition 13.1
- Notebook Dell Inspiron 14R: Intel Core i7, 8GB de Memória RAM, 1TB de espaço em disco.

- Notebook Samsung RF511-SD3BR: Intel Core i7, 8GB de Memória RAM, 1TB de espaço em disco.

## 5.2 Definição do Conjunto de Instruções

### 5.2.1 Conjunto de Instruções CISC

Em uma máquina CISC, como o iAPX8086, há centenas de instruções de diversos tamanhos. Isso se justificava no passado pela velocidade lenta da memória, uma vez que após acessá-la para buscar uma instrução a execução das demais instruções normalmente não precisava de outro acesso.

No entanto, as memórias de hoje são de alto desempenho, e dispensam a precaução de evitar acessá-las. Diante disso, um programa CISC se torna complexo e demanda tempo para ser executado, uma vez que possui instruções complexas que requerem vários ciclos de relógio e raramente são utilizadas.

Um programa escrito para uma máquina CISC, possui instruções escritas de um modo menor, ou seja, estão mais simples, porém mais codificadas. Quando o processador recebe tais instruções ele tem de decodificá-las em código de máquina para que seus circuitos possam executá-las.

Os processadores de arquitetura CISC contêm uma micro-programação, ou seja, um conjunto de códigos de instruções que são gravados no processador. Desta forma, este recebe as instruções dos programas e as executa utilizando as instruções contidas em sua micro-programação.

A imagem 22 a seguir ilustra o processo de quebra do código que chega ao microprocessador, já em baixo nível, em diversas instruções mais próximas do hardware, estas por sua vez estão contidas no microcódigo do processador.

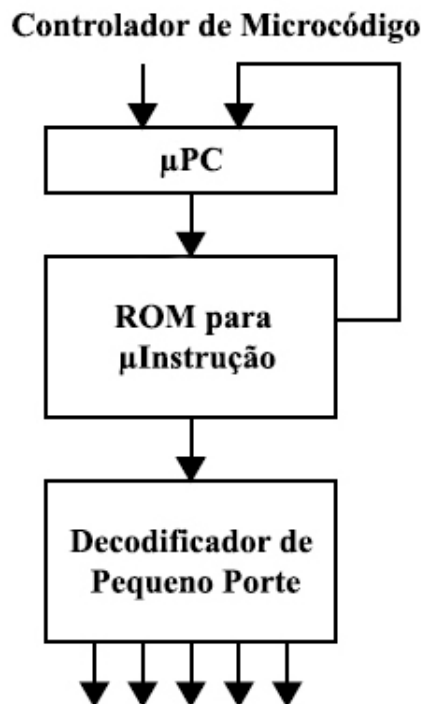


Figura 22: Sequência para Execução de Instruções CISC

### 5.2.2 Conjunto de Instruções RISC

Em uma máquina RISC, como a desenvolvida neste trabalho, o conjunto de instruções é reduzido. O hardware suporta um conjunto mínimo de funções, sendo estas operações aritméticas e lógicas, transferência de dados entre CPU, memória e periféricos, além de operações de controle da máquina.

Uma das principais características das instruções é que cada uma executa uma ação muito simples. Assim, uma máquina RISC tem suas instruções compiladas diretamente para código de máquina, não sendo necessária uma posterior quebra em microcódigo (como ocorre em máquinas CISC).

A imagem 23 a seguir ilustra o processo de compilação dos programas de um microprocessador de arquitetura RISC.

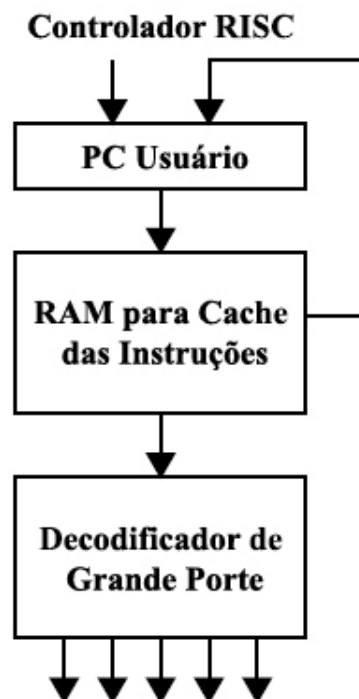


Figura 23: Sequência para Execução de Instruções RISC

A definição de um conjunto de instruções para uma máquina RISC segue as seguintes regras:

- Analisar aplicações para identificar operações-chave
- Projetar um processador que seja eficiente para executar essas operações.
- Projetar instruções que realizam as operações-chave.
- Acrescentar mais instruções necessárias, cuidando para não afetar a velocidade da máquina.

### 5.2.3 Instruções Escolhidas

Para a implementação de um microprocessador o primeiro item que necessita ser pensado e desenvolvido com muita atenção é o conjunto de instruções, por-

tanto dentre 255 instruções do microprocessador 8086 foram escolhidas somente as instruções que são de funcionamento básico de um programa de computador.

Realizando um paralelo entre os dois tipos possíveis de conjunto de instruções, o microprocessador em desenvolvimento implementará instruções semelhantes ao conjunto do Microprocessador MIPS, que possui um conjunto de instruções bem reduzido, somente com 50 instruções e todos opcodes com o tamanho fixo de 6 bits, além que dentro dessas instruções elas são subdividas em somente 3 tipos, que são: I,J e R. Sendo o tipo I, as operações de registro - imediato, as instruções J, que são os jumps e as instruções R, que são as instruções registro-registro.

”O design do conjunto de instruções deve ter vários objetivos, sendo o mais óbvio e útil a performance do microprocessador.”(HENNESSY, 1984).

Neste momento a preocupação é desenvolver um microprocessador que tenha um funcionamento básico e muito explícito, pois o foco deste trabalho não é desenvolver uma tecnologia nova, porém compreender profundamente o desenvolvimento da arquitetura e dos componentes de um microprocessador e lembrando que, as máquinas RISC só se tornaram viáveis devido aos avanços de software no aparecimento de compiladores otimizados.(??).

Para adequar o 8086 a filosofia RISC, somente um modo de endereçamento é possível, somente o modo NNNNN, pois torna o microprocessador uma máquina Load/Store, nenhuma operação memória-memória se adequa a filosofia. Além do conjunto de instruções característico, os microprocessadores RISC possuem normalmente uma grande quantidade de registradores, devidamente pela impossibilidade de realizar operações memória-memória, porém o microprocessador a ser desenvolvido por seguir as características de um 8086, possuirá somente os mesmos registradores existentes no microprocessador 8086 CISC, em busca de facilitar o desenvolvimento, além disso, com o foco de que o mesmo código gerado para um microprocessador 8086 CISC possa ser utilizado, claro sendo que sejam as mesmas instruções, em sua versão RISC.

Para o devido gerenciamento de memória, o microprocessador a ser desenvolvido não irá ter em seu conjunto os modos que fazem uso de segmentação, portanto a memória será enxergada como uma memória linear. Como se tivessemos somente um segmento sendo utilizado, tal definição será explicitada mais a diante. Semelhante ao funcionamento do microprocessador 386 que possui além de um modo de memória segmentada, um modo protegido o qual a memória é vista linearmente.

Portanto, após todas as considerações tomadas para o desenvolvimento do conjunto de instruções, temos na tabela 2 o conjunto de instruções escolhido para o desenvolvimento deste microprocessador.

Tabela 2: Instruções Escolhidas e seus devidos Opcodes

Instrução	Opcode
<b>ADD Reg16,Imed16</b>	10000001 11000 R/M I16L I16H
<b>OR Reg16,Imed16</b>	10000001 11001 R/M I16L I16H
<b>ADC Reg16,Imed16</b>	10000001 11010 R/M I16L I16H
<b>SBB Reg16,Imed16</b>	10000001 11011 R/M I16L I16H
<b>AND Reg16,Imed16</b>	10000001 11100 R/M I16L I16H
<b>SUB Reg16,Imed16</b>	10000001 11101 R/M I16L I16H
<b>XOR Reg16,Imed16</b>	10000001 11110 R/M I16L I16H
<b>CMP Reg16,Imed16</b>	10000001 11111 R/M I16L I16H
<b>MOV Reg16,Imed16</b>	00000000 10111 R/M I16L I16H

Para realizar uma verificação das instruções escolhidas e determinar a sua finalidade, aproveitamos da liberação que a Microsoft realizou nos últimos dias, que foi, abrir o código fonte do sistema MS-DOS para o Museu da História da Computação, o qual foi disponibilizado pela internet (SHUSTEK, 2014), neste arquivo que pode ser feito realizado o download livremente, existem duas versões do MS-DOS, como base utilizamos a versão 1.1 do MS-DOS, com os arquivos fontes escritos em Assembly. Baseado historicamente, este sistema era executado em um processador Intel®. Portanto, desenvolveu-se um código na linguagem Python, que encontra-se em anexo, para realizar uma varredura em todos os arquivos .asm para checar a quantidade de instruções semelhantes as que foram definidas como instruções do microprocessador a ser implementado, com os resultados, obtivemos

a figura 24.

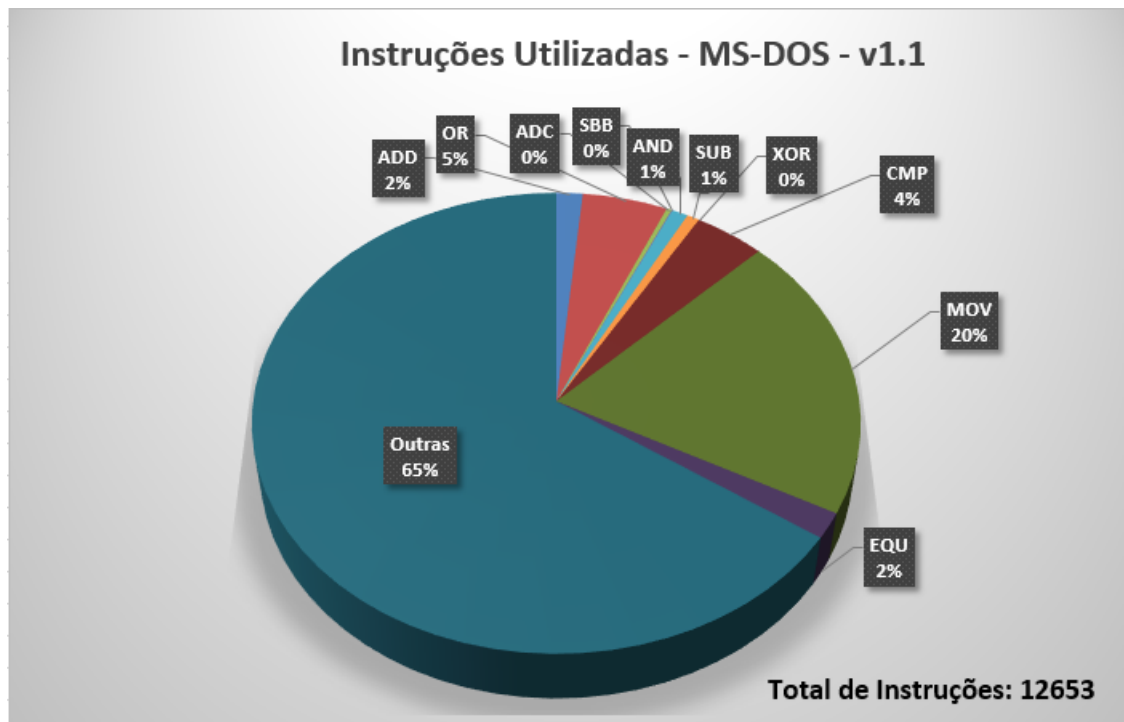


Figura 24: Análise quantitativa das instruções do código do MS-DOS(SHUSTEK, 2014)

Assim como em um projeto de pesquisa da IBM identificou que a maioria das instruções eram usadas com pouca frequência. Cerca de 20% delas eram usadas 80% das vezes. Os próprios desenvolvedores de sistemas operacionais habituaram-se a determinados subconjuntos de instruções, tendendo a ignorar as demais, principalmente as mais complexas(?), no gráfico podemos ver claramente a alta utilização de instruções MOV, independente do seu tipo de endereçamento, o que o torna

#### 5.2.4 Definição do Tamanho das Instruções

Na arquitetura CISC há instruções de diversos tamanhos. Um exemplo é o iAPX8086, que contém instruções que variam de 1 até 6 bytes. Desta forma, cada



uma destas instruções requer uma quantidade diferente de ciclos de máquina para serem executadas.

Na arquitetura RISC todas as instruções possuem o mesmo tamanho. E, segundo a regra de ouro, todas as instruções devem ser executadas em apenas um ciclo de máquina. O problema quanto à regra de ouro são as instruções LOAD e STORE que requerem mais ciclos de relógio, uma vez que estas fazem acesso à memória.

Neste ponto, a regra de ouro tem de ser adaptada. A solução proposta é que a cada ciclo de relógio a execução de uma nova instrução seja iniciada. E nessa característica é que entra o uso da técnica de pipelining.

Para o microprocessador desenvolvido neste trabalho as instruções possuem 4 bytes. Este tamanho de instrução foi definido visando uma melhor administração da memória disponível e respeitando a regra de ouro, onde todas as instruções tem o mesmo tamanho. Na figura 25 a seguir tem-se a estrutura das instruções aritméticas e lógicas.

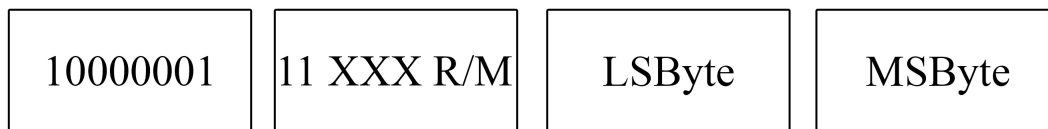


Figura 25: Bytes das Instruções Aritméticas e Lógicas

Na figura 26 a seguir tem-se a estrutura da instrução MOV.



Figura 26: Bytes da Instrução MOV

## 5.3 Implementação em VHDL

Á seguir, será descrito todos os componentes em VHDL que foram desenvolvidos passo a passo, cada um com a sua devida validação com um testbench executado pelo Modelsim, todos os códigos desenvolvidos estão localizados em anexos.

### 5.3.1 Registro de Propósito Geral

O registrador de propósito geral tem como objetivo encapsular os registradores AX, BX, CX, DX, SP, BP, SI e DI. Como definido anteriormente, todos os registro são de 16bits, portanto além de possuir entrada e saída de 16 bits, possui uma entrada de controle, para a seleção correta do registrador desejado, que é determinado no opcode pelo item R/M, que segue por padrão assim como no 8086 a tabela 3. Além de entradas para o *clock* e *reset* do sistema e uma entrada de controle de leitura/escrita, sendo leitura em nível baixo e escrita em nível alto, além da entrada de habilitação do componente para o devido controle da máquina de estados do microprocessador.

Tabela 3: Códigos de controle do Registro de Propósito Geral

<b>Registrador</b>	<b>Código R/M</b>
<b>AX</b>	000
<b>BX</b>	011
<b>CX</b>	001
<b>DX</b>	010
<b>SP</b>	100
<b>BP</b>	101
<b>SI</b>	110
<b>DI</b>	111

Temos na figura 27 o resultado produzido pela execução do *testbench*, que também se encontra em anexos.

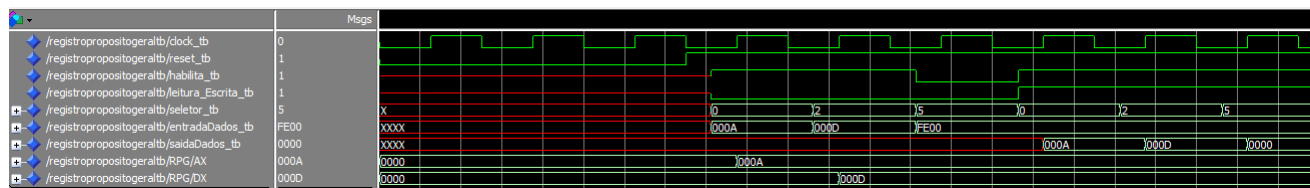


Figura 27: Resultado do *testbench* aplicado ao componente de Registro de Propósito Geral

### 5.3.2 Registro de Segmento

Com funcionamento semelhante do Registro de Propósito Geral, possui o objetivo de encapsular os registradores que possuem o funcionamento de manipulação de memória que são, CS, ES, DS, SS, além do contador de índice IP. Diferentemente, do Registro de Propósito Geral, o registro de Segmento, possui uma linha de entrada denominada *incrementa\_IP*, tal linha foi implementada a fim de facilitar o comando de incremento de IP para se caminhar continuamente na memória, sendo que o registro possui acesso direto ao registrador IP, em vez de se desenvolver uma estrutura própria para este cálculo. Tal registro também possui seu devido barramento de controle de 3 bits, que está descrito na tabela 4, porém como descrito anteriormente este barramento será fixado em "001" para que somente seja utilizado o segmento de código para o funcionamento deste microprocessador.

Tabela 4: Códigos de controle do Registro de Segmento

Registrador	Código R/M
ES	000
CS	001
SS	010
DS	010
IP	100
Todos em Alta Impedância	outros

Temos na figura 28 o resultado produzido pela execução do *testbench*, que também se encontra em anexos.

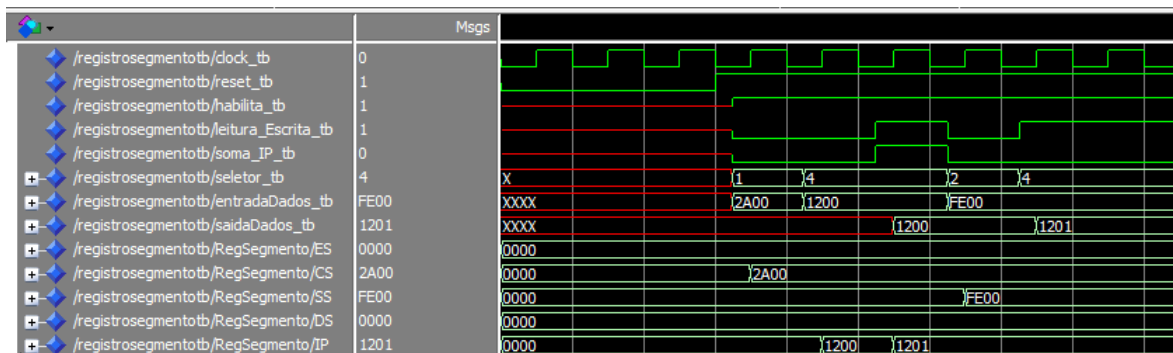


Figura 28: Resultado do *testbench* aplicado ao componente de Registro de Segmento

### 5.3.3 Calculadora de Endereço

Foi desenvolvido uma calculadora de endereço para realizar o cálculo do endereço relativo para o endereço físico, por exemplo, temos o seguinte endereço lógico CS:IP, sendo CS com 1200h e IP com 3450h, então, a calculado tem o papel de converter este endereço lógico, realizando a seguinte operação:  $12000h + 3405h = 15405h$ , um endereço físico de 16 bits que é colocado no barramento de endereço do microprocessador, a fim de apontar um endereço na memória. Assim foi desenvolvido um componente simples, com duas entradas de 16 bits e uma saída de 20 bits, temos na figura 29 a execução do exemplo dado logo a cima.

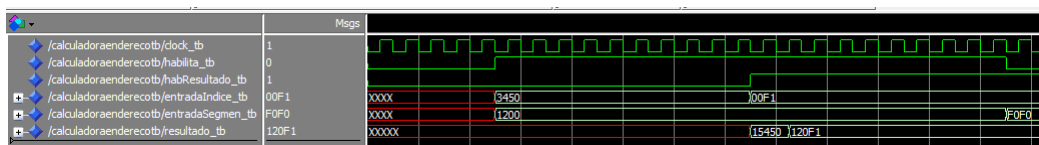


Figura 29: Resultado do *testbench* aplicado a Calculadora de Endereço

### 5.3.4 Demultiplexador

O Demultiplexador seleciona um dos diversos dados de entrada e o transfere para a saída. Foi implementado para possuir duas saídas de 16 bits, devido requisitos básicos do sistema.

	Msgs				
/demultiplexadortb/entrada_tb	-No Data-	1234	ABCD	FEDC	56AB
/demultiplexadortb/saidaTB_01	-No Data-	1234		FEDC	
/demultiplexadortb/saidaTB_02	-No Data-	XXXX	ABCD		56AB
/demultiplexadortb/seletor_tb	-No Data-				

Figura 30: Resultado do *testbench* aplicado ao Demultiplexador

### 5.3.5 Multiplexador

O Multiplexador seleciona um dos diversos dados de entrada e o transfere para a saída. Assim como o Demultiplexador, foi implementado com duas entradas de 16 bits.

	Msgs				
/multiplexadortb/en...	-No Data-	4660		65244	
/multiplexadortb/en...	-No Data-	X	43981		22187
/multiplexadortb/sai...	-No Data-	4660	43981	65244	22187
/multiplexadortb/sel...	-No Data-				

Figura 31: Resultado do *testbench* aplicado ao Multiplexador

### 5.3.6 Registro de Flags

O Registro de Flags tem como objetivo guardar o resultado dos flags que são calculado pela Unidade Lógica Aritmética. Funciona como um flip-flop para cada sinal de entrada, porém como saída possui um único vetor de 16 bits, para que tenha uma exibição semelhante à maneira de se manipular flags no microprocessador 8086, podemos verificar seu funcionamento na figura 32.

### 5.3.7 Unidade de Controle de Endereços

A Unidade de Controle de Endereços possui como objetivo controlar alguns componentes a maneira de realizar a perfeita sincronização entre eles, e que exista

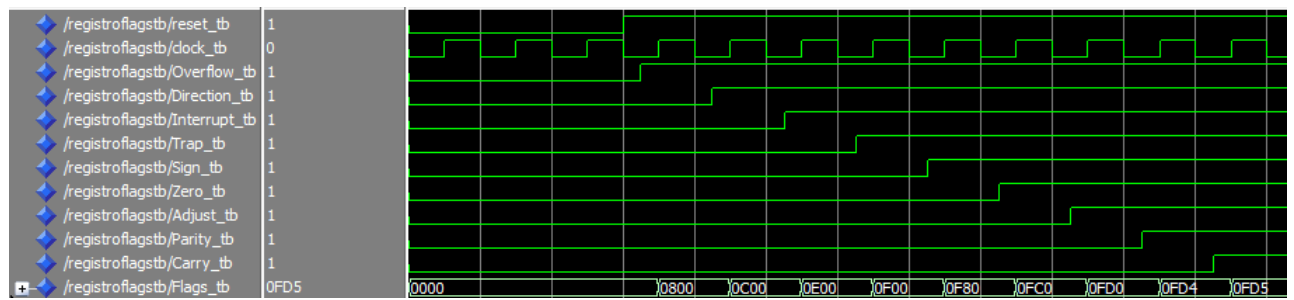


Figura 32: Resultado do *testbench* aplicado ao Registro de Flags

um fluxo consistente de dados entre as estruturas para que o cálculo que seja realizado, e que seja correto. Portanto a Unidade de Controle de Endereços é a implementação de uma máquina de estados 33, que é iniciada em reset, e estimulado por pulsos de clock e por um sinal de habilitação advindo da Unidade de Controle, responsável pela realização da sincronia total do microprocessador.

### 5.3.7.1 Diagrama de Estados

O sinal de habilita existe para que exista uma espécie de domínio da Unidade de Controle sobre a Unidade de Controle de Endereços, pois o papel da controladora de endereços é fornecer à memória o endereço correto para que a unidade de controle sempre acesse no barramento de dados, um dado válido para que a máquina não trave e sempre continue processando cíclicamente, temos na figura 35 o resultado do *testbench* realizado com a unidade.

### 5.3.8 Memória ROM

A memória ROM é utilizada para armazenar os opcodes das instruções. Os valores armazenados na estrutura representam o que seria o resultado da compilação de um software. Desta forma, esta é utilizada para simulação da funcionalidade do microprocessador diante de um código assembly resultante do processo de compilação.

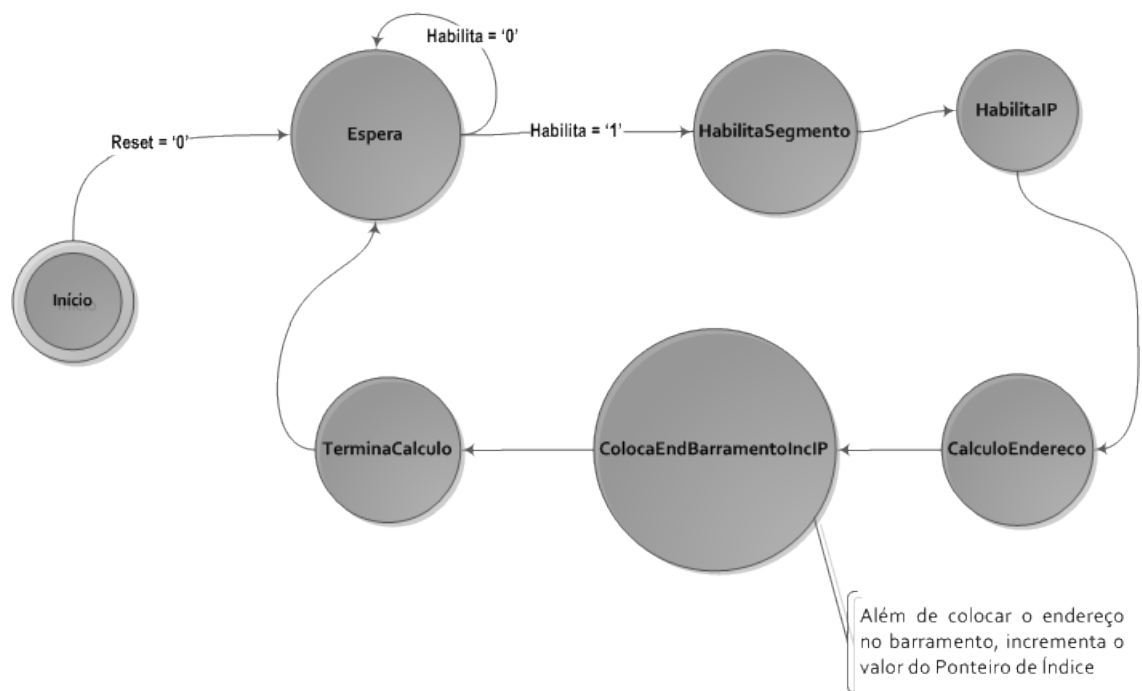


Figura 33: Diagrama de Estados da Unidade de Controle de Endereços

Na figura 34 abaixo tem-se a simulação da funcionalidade desta estrutura:

	Regs	
/memoriaromb/clock_tb	1	
/memoriaromb/habilita_tb	1	
/memoriaromb/saida_tb	FFFF	XXXX 81C0 00FF FFFF
/memoriaromb/endereco_tb	254	0 1 2 3 254

Figura 34: Saída Memória ROM

### 5.3.9 Unidade Aritmética e Lógica - ULA

É a estrutura responsável por executar todas as operações aritméticas e lógicas do microprocessador. É composta por algumas estruturas auxiliares, já descritas neste documento, que implementam funcionalidades necessárias na execução bit a bit de cada instrução. Os dados chegam na ULA através do multiplexador ou direto da unidade de controle, a respectiva operação é executada e então o resultado é colocado no registrador correspondente definido pela unidade de controle.

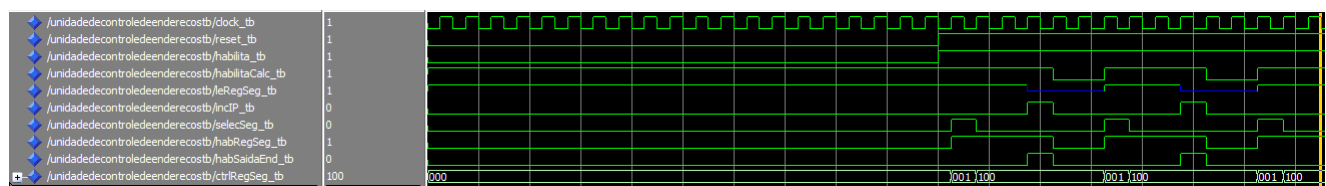


Figura 35: Resultado do *testbench* aplicado a Unidade de Controle de Endereços

### 5.3.9.1 Detector do Flag Auxiliar

O Detector do Flag Auxiliar é uma estrutura criada para ser utilizada na Unidade Aritmética e Lógica. Esta estrutura detecta a ocorrência de um "vai um" do bit 3 para o bit 4 ou quando há "vem um" do bit 4 para o bit 3, durante a execução de alguma instrução aritmética. A validação da funcionalidade da estrutura através de um *testbench* é apresentada na figura 36 a seguir:

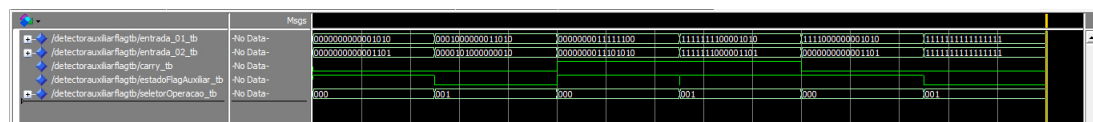


Figura 36: Saída Estrutura Detector Auxiliar Flag

### 5.3.9.2 Detector do Flag de Paridade

O Detector do Flag de Paridade é uma estrutura que detecta a paridade do resultado obtido em uma instrução aritmética ou lógica. É utilizado na Unidade Aritmética e Lógica. Caso haja um número par de bits 1 no resultado da operação, o flag de paridade recebe valor 1, caso contrário, recebe valor 0. Na figura 37 a seguir, tem-se a validação da funcionalidade da estrutura:

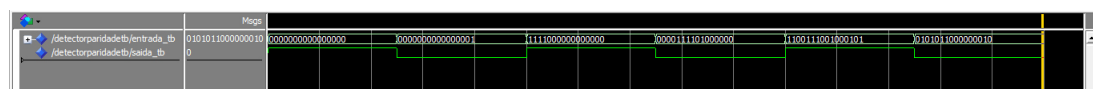


Figura 37: Saída Estrutura Detector Flag de Paridade



### 5.3.9.3 Detector do Zero Flag

Esta estrutura verifica o resultado obtido em uma operação aritmética ou lógica. Caso o valor final seja 0, o zero flag recebe valor 1, caso contrário, recebe valor 0. Na figura 38 a seguir se tem a validação da funcionalidade da estrutura:

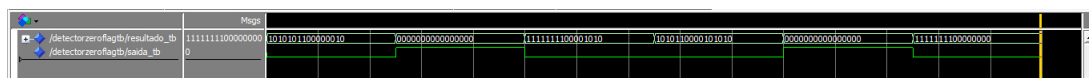


Figura 38: Saída Estrutura Detector Zero Flag

### 5.3.10 Unidade de Controle

A Unidade de Controle é uma das principais estruturas do microprocessador. Ela é responsável por 3 funções básicas: busca (fetch), decodificação e execução. Além disso, gera todos os sinais que controlam as unidades *escravas* à ela. A *Unidade de Controle de Endereços* é uma máquina de estados escrava à unidade de controle, portanto há um sinal de habilitação que conecta essas duas unidades que é enviado pela Unidade de Controle, tornando-a uma máquina de estados *master*. Podemos verificar o diagrama de estados implementado na Unidade de Controle, na figura 39.

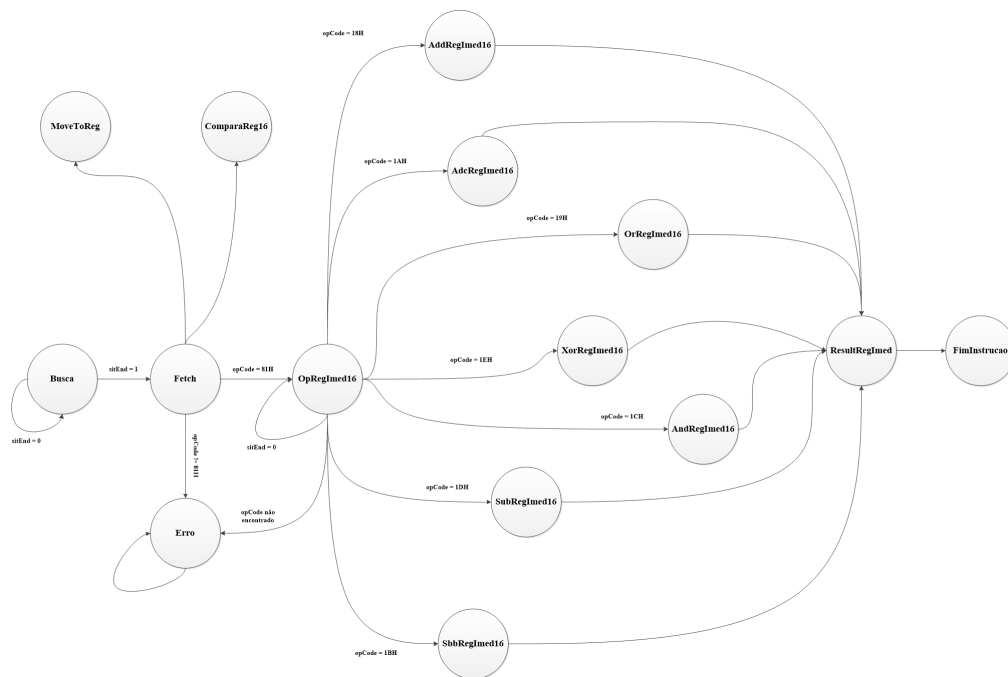


Figura 39: Diagrama de Estados da Unidade de Controle

## 6 Resultados

O processador implementado foi testado da seguinte maneira, foi criado um arquivo *testbench* e através dos resultados fornecidos pelo software ModelSim - Altera, selecionando somente os sinais internos de interesse da instrução, que será colocada diretamente no barramento de dados, em sua forma hexadecimal. Nas próximas seções, serão detalhadas todas as instruções implementadas, uma a uma com o seu devido resultado do *testbench*.

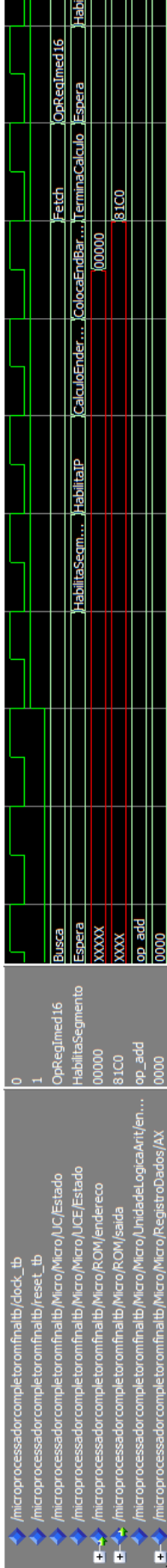


Figura 40: Sequência para Execução de Instruções CISC

### 6.1 ADD Reg16,Imed16

Esta instrução adiciona ao valor do registro um valor imediato de 16 bits, a instrução de teste em hexadecimal é definida como **81C0 123F** onde 81C0h é o opcode da instrução e 123Fh é o valor imediato a ser somado no registro AX, por utilizar R/M igual a 000 como vimos anteriormente. Temos na figura 40 o resultado da simulação.

## 6.2 OR Reg16,Imed16

Esta instrução realiza a operação "OU" bit a bit do valor do registro com um valor imediato de 16 bits, a instrução de teste em hexadecimal é definida como **81C8 123F** onde 81C8h é o opcode da instrução e 123Fh é o valor imediato a ser realizado a operação "OU" no registro AX, por utilizar R/M igual a 000 como vimos anteriormente. Temos na figura 41 o resultado da simulação.

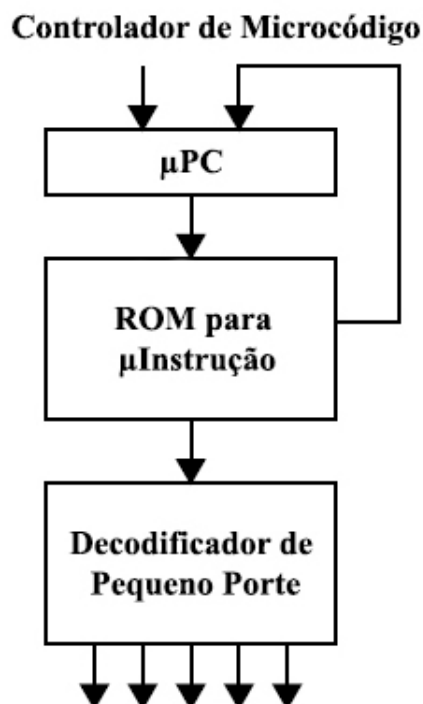


Figura 41: Sequência para Execução de Instruções CISC

## 6.3 ADC Reg16,Imed16

Esta instrução adiciona, com carry, ao valor do registro um valor imediato de 16 bits, a instrução de teste em hexadecimal é definida como **81D0 123F** onde 81D0h é o opcode da instrução e 123Fh é o valor imediato a ser somado com carry

no registro AX, por utilizar R/M igual a 000 como vimos anteriormente. Temos na figura 42 o resultado da simulação.

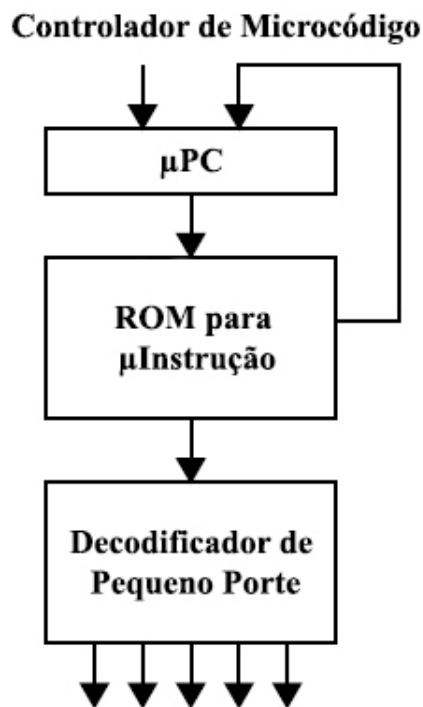


Figura 42: Sequência para Execução de Instruções CISC

## 6.4 SBB Reg16,Imed16

Esta instrução subtrai, com borrow, ao valor do registro um valor imediato de 16 bits, a instrução de teste em hexadecimal é definida como **81D8 123F** onde 81D8h é o opcode da instrução e 123Fh é o valor imediato a ser subtraído com borrow no registro AX, por utilizar R/M igual a 000 como vimos anteriormente. Temos na figura 43 o resultado da simulação.

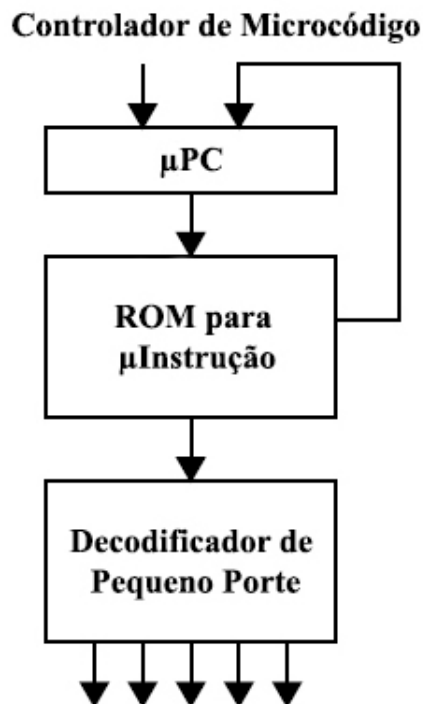


Figura 43: Sequência para Execução de Instruções CISC

## 6.5 AND Reg16,Imed16

Esta instrução realiza a operação "AND" bit a bit do valor do registro com um valor imediato de 16 bits, a instrução de teste em hexadecimal é definida como **81E0 123F** onde 81E0h é o opcode da instrução e 123Fh é o valor imediato a ser realizado a operação "OU" com o registro AX, por utilizar R/M igual a 000 como vimos anteriormente. Temos na figura 44 o resultado da simulação.

## 6.6 SUB Reg16,Imed16

Esta instrução subtrai ao valor do registro um valor imediato de 16 bits, a instrução de teste em hexadecimal é definida como **81E8 123F** onde 81E8h é o opcode da instrução e 123Fh é o valor imediato a ser subtraído no registro AX,

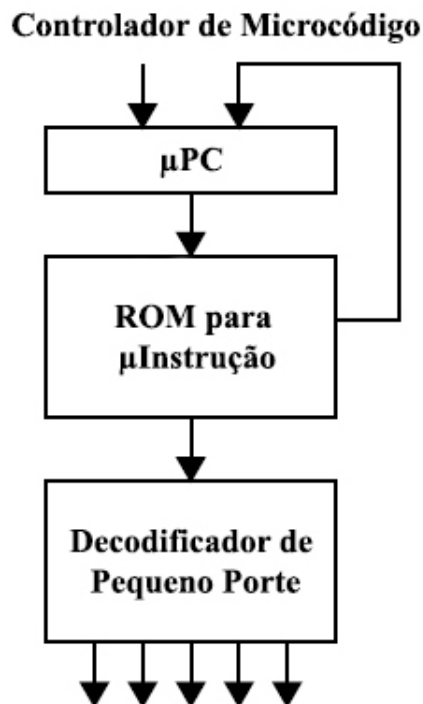


Figura 44: Sequência para Execução de Instruções CISC

por utilizar R/M igual a 000 como vimos anteriormente. Temos na figura 45 o resultado da simulação.

## 6.7 XOR Reg16,Imed16

Esta instrução realiza a operação "XOR" bit a bit do valor do registro com um valor imediato de 16 bits, a instrução de teste em hexadecimal é definida como **81E8 123F** onde 81E8h é o opcode da instrução e 123Fh é o valor imediato a ser realizado a operação "XOR" com o registro AX, por utilizar R/M igual a 000 como vimos anteriormente. Temos na figura 46 o resultado da simulação.



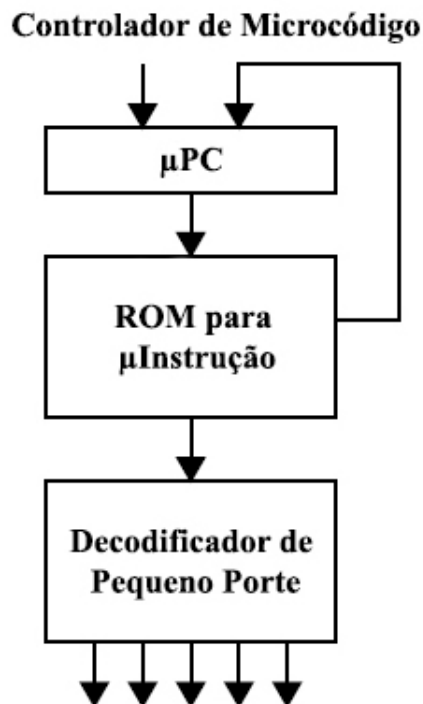


Figura 45: Sequência para Execução de Instruções CISC

## 6.8 CMP Reg16,Imed16

Esta instrução realiza a comparação ao valor do registro um valor imediato de 16 bits, a instrução de teste em hexadecimal é definida como **81F8 123F** onde 81F8h é o opcode da instrução e 123Fh é o valor imediato a ser comparado com o registro AX, por utilizar R/M igual a 000 como vimos anteriormente. Temos na figura 47 o resultado da simulação.

## 6.9 MOV Reg16,Imed16

Esta instrução move um valor imediato de 16 bits para um determinado registrador, a instrução de teste em hexadecimal é definida como **00B8 123F** onde 00B8h é o opcode da instrução e 123Fh é o valor imediato a ser movido para o

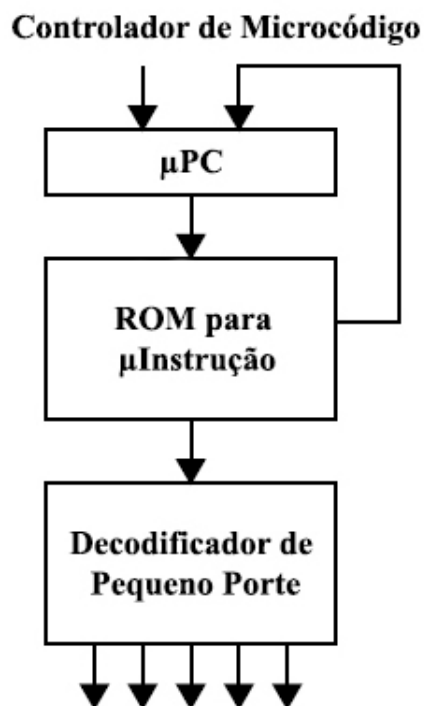


Figura 46: Sequência para Execução de Instruções CISC

registro AX, por utilizar R/M igual a 000 como vimos anteriormente. Temos na figura 48 o resultado da simulação.

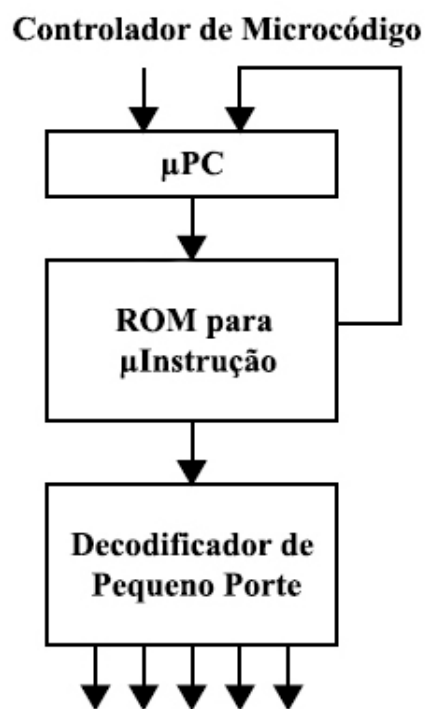


Figura 47: Sequência para Execução de Instruções CISC

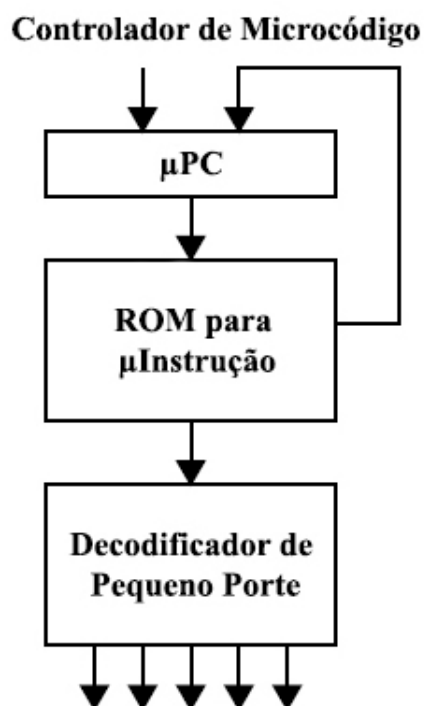


Figura 48: Sequência para Execução de Instruções CISC

## 7 Considerações Finais

Este trabalho tinha como objetivo desenvolver um processador RISC a partir de um originalmente feito na arquitetura CISC. Sendo possível assim, analisar questões de desempenho no que diz respeito a execução dos programas e acessos à memória. Poucas instruções foram implementadas, uma vez que a arquitetura RISC possui um conjunto de instruções curto e, além disso, este é um projeto com fins didáticos sendo possível, caso necessário, a implementação de mais instruções posteriormente.

O processador desenvolvido foi testado via simulação e funcionou como esperado. As instruções implementadas desempenharam corretamente sua função e, portanto, pode-se dizer que o projeto foi concluído com êxito.

O projeto foi desenvolvido de forma modular, o que facilita a manutenção do código e posteriores melhorias. Além disso, possui uma arquitetura de fácil entendimento o que incentiva a continuação do projeto em trabalhos futuros.

O desenvolvimento deste trabalho foi muito importante na consolidação dos conhecimentos de hardware e software. O estudo de como as diferentes arquiteturas das máquinas são implementadas foi necessário, para definir o comportamento do processador aqui desenvolvido. Todo o processo de descrição do comportamento destes blocos em VHDL requer um profundo conhecimento de técnicas de depuração e desempenho na área de software.

## 8 Trabalhos Futuros

A máquina desenvolvida neste trabalho não teve todo o seu potencial implementado. É possível desenvolver mais instruções, respeitando a arquitetura RISC, de modo a dar maior flexibilidade na hora de escrever programas para o processador executar.

Há também a possibilidade de aumentar o tamanho dos registros, desde que a filosofia da arquitetura utilizada seja respeitada, e melhorar o tamanho dos barramentos de comunicação, tornando o processador mais poderoso.

## 9 Anexo

```
1 #-----#
  #Objetivo: Codigo para analisar instrucoes do codigo do DOS
3 #Desenvolvedor(es):
  #   Marcos Aurelio Freitas de Almeida Costa
5 #   Denis Araujo da Silva
  #Data: 03/04/2014
7 #-----#

9 # Arquivos a serem abertos
  asm_modulo = 'ASM.ASM'
11 command_modulo = 'COMMAND.ASM'
  hex2bin_modulo = 'HEX2BIN.ASM'
13 io_modulo = 'IO.ASM'
  msdos_modulo = 'MSDOS.ASM'
15 stddos_modulo = 'STDDOS.ASM'
  trans_modulo = 'TRANS.ASM'
17

  # Instrucoes a serem procuradas
19 mov_instrucao = 'MOV'
  add_instrucao = 'ADD'
21 adc_instrucao = 'ADC'
  sub_instrucao = 'SUB'
23 sbb_instrucao = 'SBB'
  or_instrucao = 'OR'
25 and_instrucao = 'AND'
  xor_instrucao = 'XOR'
27 cmp_instrucao = 'CMP'
```

```

equ_instrucao = 'EQU'
29
# Contadores
31 mov_contador = 0
   add_contador = 0
33 adc_contador = 0
   sub_contador = 0
35 sbb_contador = 0
   or_contador = 0
37 and_contador = 0
   xor_contador = 0
39 cmp_contador = 0
   etc_contador = 0
41 equ_contador = 0

43 # Analisa Modulo
   def analise_modulo(nome_modulo):
45     global mov_contador
       global add_contador
47     global adc_contador
       global sub_contador
49     global sbb_contador
       global or_contador
51     global and_contador
       global xor_contador
53     global cmp_contador
       global etc_contador
55     global equ_contador
       arquivo = open(nome_modulo)
57     linha = arquivo.readline()
       while(linha != ''):
59         # Quebra a linha ate o inicio dos comentarios
           codigo = linha.split(';')
61         # Busca os opcodes na linha sem os comentarios
           if(codigo[0] != ''):
63             if(mov_instrucao in codigo[0]):

```



```

        mov_contador += 1
65     elif(add_instrucao in codigo[0]):
        add_contador += 1
67     elif(adc_instrucao in codigo[0]):
        adc_contador += 1
69     elif(sub_instrucao in codigo[0]):
        sub_contador += 1
71     elif(sbb_instrucao in codigo[0]):
        sbb_contador += 1
73     elif(or_instrucao in codigo[0]):
        or_contador += 1
75     elif(and_instrucao in codigo[0]):
        and_contador += 1
77     elif(xor_instrucao in codigo[0]):
        xor_contador += 1
79     elif(cmp_instrucao in codigo[0]):
        cmp_contador += 1
81     elif(equ_instrucao in codigo[0]):
        equ_contador += 1
83     else:
        etc_contador += 1
85     # le a proxima linha
        linha = arquivo.readline()
87
# Metodo principal
89 def main():

91     print ( 'Modulos Analisados:')
    print ( 'Modulo: ' + str(asm_modulo))
93     analise_modulo(asm_modulo)
    print ( 'Modulo: ' + str(command_modulo))
95     analise_modulo(command_modulo)
    print ( 'Modulo: ' + str(hex2bin_modulo))
97     analise_modulo(hex2bin_modulo)
    print ( 'Modulo: ' + str(io_modulo))
99     analise_modulo(io_modulo)

```

```

101     print ( 'Modulo: ' + str(msdos_modulo))
        analise_modulo(msdos_modulo)
103     print ( 'Modulo: ' + str(stddos_modulo))
        analise_modulo(stddos_modulo)
105     print ( 'Modulo: ' + str(trans_modulo))
        analise_modulo(trans_modulo)

107     print ( '_____')

109     print ( 'Quantidade de vezes que as instrucoes foram utilizadas:')
        print ( 'MOV: ' + str(mov_contador))
111     print ( 'ADD: ' + str(add_contador))
        print ( 'ADC: ' + str(adc_contador))
113     print ( 'SUB: ' + str(sub_contador))
        print ( 'SBB: ' + str(sbb_contador))
115     print ( 'OR: ' + str(or_contador))
        print ( 'AND: ' + str(and_contador))
117     print ( 'XOR: ' + str(xor_contador))
        print ( 'CMP: ' + str(cmp_contador))
119     print ( 'EQU: ' + str(equ_contador))
        print ( 'ETC: ' + str(etc_contador))

121     print ( '_____')

123 main();

```

Código em Python utilizado para a análise quantitativa do código fonte do MS-DOS

# Referências

- ANGELOLEITHOLD. Internal integrated circuit.  
[Http://pt.wikipedia.org/wiki/Ficheiro:InternalIntegratedCircuit2.JPG](http://pt.wikipedia.org/wiki/Ficheiro:InternalIntegratedCircuit2.JPG).  
 2004.
- BINSTOCK, A. Multi-core processor architecture explained.  
[Http://software.intel.com/en-us/articles/multi-core-processor-architecture-explained](http://software.intel.com/en-us/articles/multi-core-processor-architecture-explained). 2013.
- CISC. Cisc. [Http://www.laynetworks.com/CISC.htm](http://www.laynetworks.com/CISC.htm). 2013.
- ENGINEERING, I. D. of I.; MANAGEMENT, L. Lecture 7: Microprocessor structure, assembly programming.  
[Http://www.ielm.ust.hk/dfaculty/ajay/courses/alp/ieem110/lecs/mup/mup.html](http://www.ielm.ust.hk/dfaculty/ajay/courses/alp/ieem110/lecs/mup/mup.html).  
 2013.
- FERREIRA, F. B. M. e I. S. M. *Práticas com Microprocessadores*. [S.l.: s.n.], 1981.
- FILHO, P. M. R. de G. N. Fundamentos de hardware.  
[Http://www.di.ufpb.br/raimundo/ArqDI/Arq5.htm](http://www.di.ufpb.br/raimundo/ArqDI/Arq5.htm). 2013.
- HENNESSY, J. L. Vlsi processor architecture. *IEEE Transactions on Computers*, C-33, p. 1221–1245, 1984.
- MICROPROCESSADORES. Microprocessadores.  
[Http://pt.kioskea.net/contents/pc/processeur.php3](http://pt.kioskea.net/contents/pc/processeur.php3). 2013.
- NEWELL, S. B. *Introduction to Microcomputing*. [S.l.]: John Wiley and Sons, Inc., 1989.
- PATTERSON, J. L. H. D. A. *Computer Organization and Design, The Hardware/Software Interface*. Oxford, Reino Unido: Elsevier, 2005.
- PEDRONI, V. A. *Eletrônica Digital Moderna e VHDL*. [S.l.]: Campus, 2011.
- PUC-RIO. Puc-rio. [Http://tcs.eng.br/PUC/plog/sd11-Microprogramacao.pdf](http://tcs.eng.br/PUC/plog/sd11-Microprogramacao.pdf).  
 2013.

SHUSTEK, L. Microsoft ms-dos early source code.

[Http://www.computerhistory.org/atchm/microsoft-ms-dos-early-source-code/](http://www.computerhistory.org/atchm/microsoft-ms-dos-early-source-code/).  
2014.

SINGH, W. A. T. e A. *The 8088 and 8086 Microprocessors, Programming, Interfacing, Software, Hardware, and Applications*. Upper Saddle River, New Jersey, Columbus, Ohio: Pearson, 1947.

TARNOFF, D. *Computer Organization and Design Fundamentals*. [S.l.]: tarnoff, 2011.

TECHOPEDIA. Arithmetic logic unit (alu).

[Http://www.techopedia.com/definition/2849/arithmetic-logic-unit-alu](http://www.techopedia.com/definition/2849/arithmetic-logic-unit-alu).  
2013.

WAITE, C. L. M. e M. *80866/8088 Manual do Microprocessador de 16 bits*. [S.l.]: McGraw-Hill, 1988.